

НАЦІОНАЛЬНИЙ УНІВЕРСИТЕТ БІОРЕСУРСІВ  
ПРИРОДОКОРИСТУВАННЯ УКРАЇНИ  
ННІ ЕНЕРГЕТИКИ, АВТОМАТИКИ ГЕНЕРГОЗБЕРЕЖЕННЯ

# НУБіп України

УДК 681.5:664.1:636.082.474

**ПОГОДЖЕНО**

Директор ННІ енергетики  
автоматики і енергозбереження  
(назва ННІ)

В.В. Каплун  
(ПІБ)

(підпис)

« \_\_\_\_ » 2023 р.

**ДОПУСКАЄТЬСЯ ДО ЗАХИСТУ**

Завідувач кафедри автоматики  
та робототехнічних систем  
ім. акад. Г.І. Мартиненка  
(назва кафедри)

В.П. Лисенко  
(ПІБ)

(підпис)

« \_\_\_\_ » 2023 р.

# НУБіп України

**КВАЛІФІКАЦІЙНА МАГІСТЕРСЬКА РОБОТА**

**02.06.-КМР.176"С".2023.02.01.002.ПЗ**

# НУБіп України

на тему «**ДОСЛІДЖЕННЯ І ВДОСКОНАЛЕННЯ КОМП'ЮТЕРНО-ІНТЕГРОВНОЇ СИСТЕМИ КЕРУВАННЯ ВОДОГІСТЮ ЗЕРНА В ШАХТНІЙ ЗЕРНОСУШАРІІ З ВИКОРИСТАННЯМ КОМПЛЕКСУ ТЕХНІЧНИХ ЗАСОБІВ АРДУІНО»**

Спеціальність: **151 – «Автоматизація та комп'ютерно-інтегровані технології»**  
(шифр і назва)

# НУБіп України

Магістерська програма: Комп'ютерно-інтегровані системи управління  
технологічними процесами у галузях АПК  
(назва)

Виконав

Косик В.А.

(ПІБ студента)

# НУБіп України

Керівник магістерської роботи

# НУБіп України

Болбот І.М. д.т.н., проф.  
(ПІБ науковий ступінь та вчене звання)

Рецензент

(підпис)

(підпис)

# НУБіп України

КІЇВ-2023

НАЦІОНАЛЬНИЙ УНІВЕРСИТЕТ БІОРЕСУРСІВ  
ПРИРОДОКОРИСТУВАННЯ УКРАЇНИ  
ННІ ЕНЕРГЕТИКИ, АВТОМАТИКИ І Енерговзбереження

ЗАТВЕРДЖУЮ

Завідувач кафедри  
автоматики та робототехнічних  
систем ім. акад. І.Ф. Мартиненка  
В.П. Лисенко  
2023 р.

НУБІП України

ЗАВДАННЯ

ДО ВИКОНАННЯ КВАЛІФІКАЦІЙНОЇ МАГІСТЕРСЬКОЇ РОБОТИ СТУДЕНТУ  
(бакалаврської, дипломної)

Косику Віталію Андрійовичу

(прізвище ім'я, по-батькові)

Спеціальність 151 «Автоматизація та комп'ютерно-інтегровані технології»  
Магістерська програма: Комп'ютерно-інтегровані системи управління  
технологічними процесами у галузях АПК

Тема магістерської роботи «ДОСЛІДЖЕННЯ І ВДОСКОНАЛЕННЯ КОМП'ЮТЕРНО-ІНТЕГРОВАНОЇ СИСТЕМИ КЕРУВАННЯ

ВОЛОГІСТЮ ЗЕРНА В ШАХТНІЙ ЗЕРНОСУЧІАРЦІ ІЗ ВИКОРИСТАННЯМ КОМПЛЕКСУ ТЕХНІЧНИХ ЗАСОБІВ АРДУІНО»,

затверджена наказом від

Термін подання студентом магістерської роботи 15.05.2023 року

*Вихідні дані до магістерської роботи:* завдання кафедри на виконання магістерської роботи; нормативні документи по проектуванню об'єктів автоматизації; матеріали дослідження та аналізу; наукова література з тематики магістерської роботи.

*Перелік питань, що підлягають дослідженню:*

1. Класифікація технологічних процесів сушіння та зберігання зерна в агропромисловому комплексі.
2. Дослідження об'єкта автоматизації.
3. Вибір регулятора та обґрунтування параметрів його налаштувань.
4. Розробка цифрової системи керування.
5. Розробка SCADA-системи.
6. Техніка безпеки та охорона праці.
7. Техніко-економічне обґрунтування.

*Дата видачі завдання*

*Керівник магістерської роботи*

Болбот І.М.

(Прізвище та ініціали)

*Завдання прийняв до виконання*

(Підпис)

(Підпис)

Косик В.А.

(Прізвище та ініціали)

# НУБІП України

## ЗМІСТ

|   |    |
|---|----|
| Вступ .....   | 4  |
| РОЗДІЛ 1. Класифікація технологічних процесів сушіння та зберігання зерна в агропромисловому комплексі .....                | 7  |
| 1.1. Основні положення управління процесами зберігання зерна .....  | 7  |
| 1.2. Способи та технологічні установки для сушіння зерна .....  | 11 |
| 1.3. Принцип роботи шахтних зерносушарок .....  | 13 |
| РОЗДІЛ 2. Дослідження об'єкта автоматизації .....   | 16 |
| 2.1. Математична модель об'єкта за результатами теоретичних досліджень .....  | 16 |
| 2.2. Розроблення та дослідження імітаційної моделі об'єкта автоматизації із використанням програмних продуктів MATLAB ..... | 17 |
| 2.3. Вибір алгоритму керування об'єктом .....   | 27 |
| РОЗДІЛ 3. Вибір регулятора та обґрунтування параметрів його налаштувань .....   | 30 |
| 3.1. Реалізація алгоритму керування .....   | 30 |
| 3.1.1. Вибір промислових пристрій керування .....   | 31 |
| 3.1.2. Вибір первинного вимірювального перетворювана САК .....  | 33 |
| 3.1.3. Вибір виконавчого механізму САК .....  | 37 |
| 3.1.4. Вибір частотного перетворювача .....   | 41 |
| РОЗДІЛ 4. Розробка цифрової системи керування .....   | 45 |
| 4.1. Вибір алгоритму управління та технічних засобів його реалізації .....  | 45 |
| 4.1.1. Визначення періоду квантування .....   | 45 |
| 4.1.2. Розрахунок цифрового регулятора .....  | 46 |
| 4.1.3. Технічна реалізація цифрового регулятора .....   | 49 |
| 4.2. Аналіз роботи САК та визначення показників якості керування .....  | 50 |
| РОЗДІЛ 5. Розробка SCADA-системи .....  | 52 |
| РОЗДІЛ 6. Техніка безпеки та охорона праці .....  | 61 |
| Список використаної літератури .....  | 67 |

# НУБІП України

# НУБІП України

## ВСТУП

# НУБІП України

*Актуальність теми.* У багатьох галузях сільськогосподарського і

промислового виробництва доводиться стикатися з необхідністю зниження вологості різних виробів і матеріалів. Для сільського господарства,

переробної та харчової промисловості це пов'язано із загальним завданням підвищення свіжості сільськогосподарських продуктів, таких як зерно, фрукти та овочі, для чого в останні десятиліття було створено багато

технологій сушіння різних продуктів (зниження вмісту вологи в зернові та

олійні культури, вистоювання сушених овочів і фруктів до того моменту, коли

цукри в них починають діяти як консерванти). Одночасно збільшується

використання цих технологій, формується сушильна промисловість і сільське

господарство [1].

При використанні технології сушіння в будь-якому масштабі важливо

реалізувати деякі техніко-економічні параметри, такі як мінімальна можлива енергоємність процесу, максимальна рівномірність сушіння та найкоротший

час досягнення заданого рівня вологості. Ці параметри можуть бути забезпечені

шляхом вибору основного фізичного процесу, відповідної технології сушіння

та відповідного обладнання, придатного для конкретної ситуації дегідратації продукту, щоб можна було реалізувати вказаний процес [5].

Основне завдання сушіння зернових і олійних культур – знищити

вологість продукту до такого значення, щоб його можна було безпечно

зберігати тривалий час, не боячись самонагрівання батарей. Проте сушіння –

це не просто спосіб зниження вологості зерна. При правильному виборі способу сушіння відбувається фізіологічне дозрівання зерна і поліпшується

його якість.

При неправильному процесі сушіння, коли зерно нагрівається вище

допустимої температури, поганшається його якість, знижується схожість і

енергія зерна, збільшується кількість трищин у бобах і рисі, знижуються хлібопекарські властивості отриманого при цьому борошна. Зерна зменшенні.

Наприклад, після високотемпературної сушки кукурудза повністю втрачає схожість, але повністю зберігає свою кормову цінність. Погане відділення крохмалю в пересушеної кукурудзі. У процесі сушіння пшениці при високих температурах зерна «твірдіють» і ускладнюють подрібнення.

Шкідники хлібного зерна - комахи, гризуни, птахи - переносять плісняви, бактерії, шкідливі домішки та патогенні мікроорганізми, які становлять велику загрозу для зерна. Цвіль добре розвивається в теплому вологому зерні. Коли комахи і цвіль знаходять сприятливе середовище і починають розмножуватися в зерні, вони самі виділяють тепло і вологу як побічні продукти свого харчування і дихання. Тепло і волога, що виділяються, підвищують вологість і температуру навколошнього зерна, збільшуючи площину псування зерна, яку часто називають «центром самонагрівання».

Токсини, що утворюються в процесі формування, зерна, пошкоджені шкідниками і цвіллю, забруднення і запах від шкідників зерна призводять до низької якості їх кормів, і тварини відмовляються їсти це зерно. Обробка та транспортування запліснявілого та пошкодженого зерна може негативно вплинути на безпеку праці та здоров'я працівників. Гриби можуть завдавати шкоди зерну як у полі, так і під час зберігання. Боротьба з мікотоксинами є

глобальною проблемою, однаковою на мікотоксини припадає  $25\%$  втрат зерна [7]. У той час як зазначені вище фактори ризику зберігання зерна та вартість зернової сировини знизилися, ціни на енергоносії різко зросли, що привело до подорожчання процесу сушіння. Іншими словами, зростає потреба в ретельному дотриманні технічних параметрів сушіння і при цьому економії енергоносіїв. Тому актуальним і своєчасним є дослідження питань енергетичного удосконалення технології сушіння зерна, підвищення ефективності використання електроенергії, перевірки доцільності параметрів і режимів роботи електрообладнання.

*Об'єктом дослідження є процес сушіння зерна під час активного вентилювання атмосферним і гарячим повітрям.*

*Предметом дослідження є залежність енерговитрат від режиму роботи та параметрів електротермічного вентиляційного пристрою активного вентилювання зерна.*

**Цілі та завдання дослідження.** Метою роботи є зниження енергетичних витрат на доведення зерна до вологого стану шляхом активного вентилювання та сушіння зерна атмосферним і нагрітим повітрям з використанням диференційованих режимів роботи електротехнічних пристрій.

Для досягнення поставленої мети були поставлені наступні завдання:

- перспективні напрямки підвищення енергоефективності процесів сушіння зерна та режиму роботи опалювальних та вентиляційних установок;

- Демонстрація та оцінка енергетичної та технічної ефективності режимів роботи електровентиляційних установок, диференційованих за потужністю нагріву та повітропередачі;

- удосконалення математичної моделі процесу видалення вологи зерна у закріпленому шарі;

- Атестувати параметри електровентиляційного обладнання та режим його роботи.

*Метод дослідження* ґрунтуються на основних положеннях теорії сушіння, теплообміну та масообміну з використанням комп'ютерних технологій математичного моделювання.

# НУБІП України

# НУБІП України

## РОЗДІЛ 1

# НУБІП України

**КЛАСИФІКАЦІЯ ТЕХНОЛОГІЧНИХ ПРОЦЕСІВ СУШІННЯ ТА  
ЗБЕРІГАННЯ ЗЕРНА В АГРОПРОМІСЛОВОМУ КОМПЛЕКСІ**

### 1.1. Основні положення управління процесами зберігання зерна

# НУБІП України

Сушіння – основна технічна операція по доведенню зерна і насіння до

стійкого стану, необхідного для тривалого зберігання. Зерно ще існує і дихає під час зберігання, хоча всі його життєдіяльності зведені до мінімуму. Під час дихання відбуваються хімічні перетворення, які в кінцевому підсумку призводять до споживання крохмалю. Сушіння та фхолодження зерна забезпечує мінімальні втрати при зберіганні.

При зниженні вологості зерна знижується інтенсивність дихання зернової маси, пригнічується життєдіяльність мікроорганізмів і нікідників зерна. Прискорюється процес післязбирального дозрівання та сушіння свіжозібраного зерна, збалансована якість зерна за вологістю та стиглістю.

Межа вологості, якої має досягти висушене зерно, дуже важлива для забезпечення його збереження. Маловологі післязбиральні стиглі зерна зберігають слабке дихання. За умов сталості температури чим вищий вміст води в зерновій масі, тим швидше зростає енергія дихання, і цей процес не є рівномірним. Це пояснюється наявністю в зерні вільної води.

Завдяки низькому вмісту води в зерні вода, яку воно вбирає, знаходиться у з'язаному стані: вона міцно утримується білоками та крохмалем. При підвищенні вологості зернової маси волога знаходиться в клітинах зерна, а крохмаль і білок утримують вологу мало або зовсім не зберігають її. Вільна вода легко проходить через різні частини зерна і використовується клітинами

для процесу гідролізу. З появою вільної води різко зросла і активність ферментів, які беруть участь у диханні.

Вологість зерна називається критичною, при якій у клітинах з'являється вільна волога і спостерігається різке підвищення інтенсивності процесів дихання в зерні. Наприклад, для пивоварного ячменю критична вологість становить 14,5%, сушінню підлягають усі зерна з вологістю понад 14,5%.

Основними причинами збереження зерна є:

1. Висока вологість зерна. Повторне зволоження зерна може відбуватися в процесі міграції вологи внаслідок зміни температури в складі, протікання в складі через відкриті люки, зернопроводи або при просочуванні ґрунтових вод у нижні шари зерна на складі.

2. Висока температура зернової маси.  
3. Велика кількість сторонніх предметів і дрібних домішок. До дрібних домішок відносяться подрібнене зерно і дрібні кшамточки землі, насіння бур'янів, незернисті частини рослин (соломка, колоски та ін.). Дрібні та сторонні забруднювачі особливо небезпечні, коли концентруються в окремих складських приміщеннях.

4. Нерівномірний розподіл температури в баку.  
5. Неналежне прибирання складу перед завантаженням зерна.

6. Низький рівень моніторингу та діагностики зберігання зерна.

Загалом фактори ризику при зберіганні зерна можна розділити на три групи: фізичні, біологічні та хімічні. До фізичної групи належать вологість і температура зерна, його фізико-механічні властивості, зернові та інші домішки.

Біологічні фактори — це комахи, пліснява, токсини та ін. До хімічної групи відносять техногенне забруднення, порушення технології вирощування, переробки та зберігання зерна.

Основними факторами псування зерна є цвіль і комахи. Цвіль добре розвивається в теплому і вологому зерні. Комахам також потрібна висока температура середовища. Оптимальне значення температури зерна становить

15...38°C, але комахи можуть розвиватися і в досить холодному зерні [3]. У будь-який час зберігання зерна в діапазоні температур 15...38°C і вологості, що перевищує оптимальну для безпечноого зберігання, існує висока ймовірність

розвитку плісняви, комах і хвороб. Слід зазначити, що кукурудза найбільше хворіє під час самозігрівання.

Оскільки цвіль і комахи добре розвиваються приблизно в однакових умовах зовнішнього середовища зерна, заплісневіле зерно стає привабливим об'єктом для комах, і навпаки, зерно з комахами починає пліснявати. Деякі види комах живляться цвіллю і є переносниками спор цвілі. З цих причин невеликі пліами цвілі та комах можуть швидко перетворитися на великі зони підвищеної температури, що містять плісняві кірки та грудочки, які видають неприємний запах.

Вологість зерна, за якої можна запобігти розвитку плісняви та комах, залежить від його температури, тривалості передбачуваного періоду зберігання, сорту посівів та первинної якості зерна (табл. 1.1).

Таблиця 1.1.

Рекомендовані максимальні значення вологості зерна (%) основних культур для різних періодів зберігання і використанням аерації

| Культура         | Тривалість зберігання, місяців |             |           |
|------------------|--------------------------------|-------------|-----------|
|                  | до 6                           | від 6 до 12 | більше 12 |
| Пшениця          | 14                             | 13          | 13        |
| Ячмінь, овес     | 14                             | 12          | 12        |
| Жито             | 13                             | 12          | 12        |
| Гречка           | 16                             | 13          | 13        |
| Насіння льону    | 9                              | 7           | 7         |
| Ріпак            | 10                             | 8           | 8         |
| Прoso            | 10                             | 9           | 9         |
| Сорго            | 13,5                           | 13          | 13        |
| Соя              | 13                             | 12          | 11        |
| Соняшник         | 10                             | 9           | 9         |
| Соняшник олійний | 10                             | 8           | 8         |
| Кукурудза        | 15                             | 14          | 13        |

Інтенсивність розвитку плісняви та комах залежить від поєднання температури та водогності зерна (рис. 1.1). Наприклад, зерно з підвищеною вологістю може зберігатися певний час, якщо зберігати його в прохолодному місці.

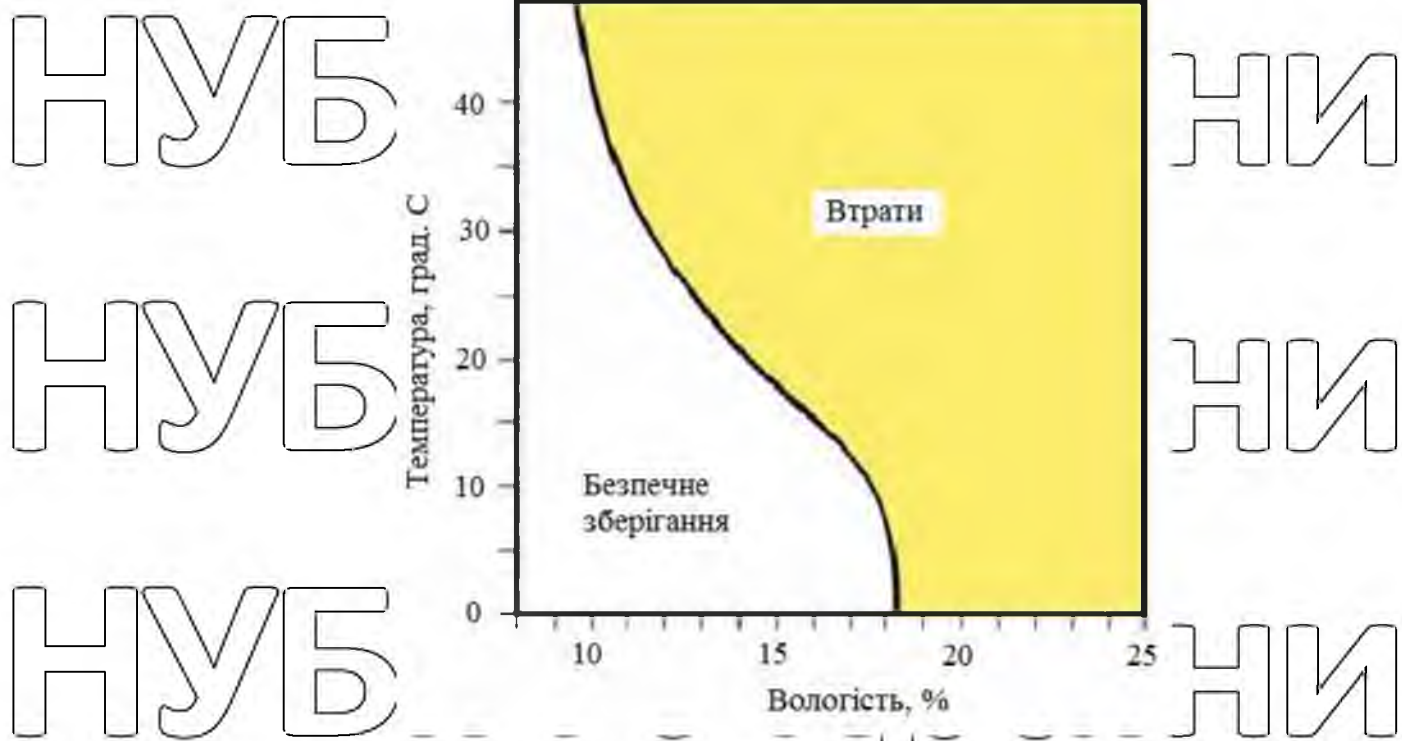


Рис. 1.1. Області безпечноного зберігання і втрати якості зерна

Надзвичайно важливо розуміти рівні вологості зерна, рекомендовані для безпечноного зберігання, як максимальну вологість зерна, а не як середнє значення загальної маси зерна. Якщо вологий стрижень зберігати поруч із сухим, частина вологи буде переходити з першого в другий, поки різниця

влоги між стрижнями не становитиме 1-2%. Проте передача вологи від одного зерна до іншого — досить тривалий процес. Якщо в сховищі є вологі зерна, то в звичай вносять у зернову масу пошарово або локальними осередками.

Навіть якщо середня вологість зерна нижче безпечноного рівня для зберігання, у клітинах з підвищеною вологістю може розвинутися цвіль.

## 1.2. Основні способи та технологічні установки для сушіння зерна

Основна волога в зерні тісно пов'язана з сухою речовиною, вона може бути вилучена із зерна лише шляхом випаровування. Для подолання сили

зв'язку вологи з сухою речовиною і теплоти пароутворення необхідно витратити певну кількість енергії. Таке сушіння називається термічним.

За основною класифікацією ознакою - способом підведення тепла - сушарки бувають: конвекційні (матеріал, що сушиться, омивається струменем попередньо підігрітого осушувача); кондуктивний або контактний

(безпосередній контакт матеріалу, що висихає, з нагрітою поверхнею); сублімація (видалення вологи в замороженому стані під вакуумом); випромінювання (сушіння під впливом інфрачервоного випромінювання);

Високочастотний (видалення вологи під дією електричного поля високої частоти) [3,4,7].

Конвекційні сушарки поділяються на низькотемпературні та високотемпературні сушильні установки.

Залежно від режиму роботи - безперервної та періодичної дії.

Залежно від стану зернового шару - з щільним нерухомим, рухомим, киплячим і зваженим шаром.

Залежно від типу нагріву адсорбента - з прямим і непрямим нагріванням. У сушарках прямого нагріву осушувачем є суміш атмосферного повітря і димових газів; До якості палива до таких сушарок пред'являються

особливі вимоги. Для сушарок з непрямим нагріванням осушувачем є чисте атмосферне повітря, яке нагрівається в теплообміннику теплогенератора.

За принципом дії - прямоточні та проточні (циркуляційні).

прямоточних сушарках зерно проходить через сушильну шахту один раз, можливе зниження його вологості залежить від обраного типу сушіння. Для

прямоточних сушарок потрібні партії зерна з однаковою початковою вологістю, різниця у вологості окремих партій зерна не повинна перевищувати 2-3%. На відміну від сушарок безперервної дії, в циркуляційних сушарках

частина зерна, що виходить із сушарки, змішується із сирим зерном і

повертється в сушарку. Це дає можливість висушити зерно з початковою високою вологістю до сухого стану, виключаючи зайві витрати на вантажно-розвантажувальні роботи. Крім того, не потрібно дозувати зерна за вологістю.

Залежно від конструктивних особливостей розрізняють зерносушарки для різних видів сировини, кліматичних умов, продуктивності: шахтні, барабанні, тунельні, модульні, колонні, конвеєрні, карусельні, мобільні та ін.

В Україні зерносушарки найбільш поширені на підприємствах хлібопекарської промисловості.

Стаціонарні сушарки безперервної дії є основним технічним засобом сушіння у великих господарствах на елеваторах, тому що: вони дають можливість регулювати поточне виробництво; забезпечують високу швидкість висихання; Виключити можливість холостого ходу сушарки через періодичне завантаження та вивантаження зерна.

Усі зерносушарки шахтного типу мають такі переваги: сушать будь-який сипучий урожай; забезпечити рівномірне висихання матеріалу; Більшість сучасних зерносушарок рециркулюють нагріте повітря в сушарку (рециркуляція холодаагенту), що дає можливість сушити дуже вологе зерно;

мають «середні» інвестиційні витрати та низькі експлуатаційні витрати. Блоки оснащені системами теплоізоляції та аспирації. Шахтні сушарки в мінімальній комплектації складаються з елементів, які дають можливість почати сушку відразу після установки механізмів.

Крім СЗДІ-16, DSP50 добре зарекомендували себе іноземні шахтні зерносушарки Law, Strahl (включаючи суб бренды Multimix і Kika), Ravaro, Buhler, Stela, Petkus, а також двозонні Satig і Scalari. Україна

### 1.3. Принцип роботи шахтних зерносушарок

Одним із найпоширеніших є такий спосіб сушіння зерна, при якому

сушіння зерна здійснюється в щільному шарі самопливу з невеликим рухом. За

таким принципом працюють шахтні сушарки з розташованими в шаховому порядку коробами введення і виведення. У таких зерносушарках зерно рухається зверху вниз, поєдовано проходячи через певну кількість живильних

і вихідних коробів теплоносія, які при надходженні з одного боку десиканту утворюють прямий або перехресний обідук рухомого потоку. Зерна з шахти в живильну камеру, проходить зерновий пласт і виходить через вихідний ящик на протилежній стороні відведення. Десикант виконує одночасно роль теплоносія і вологи. Температура осушувача не повинна опускатися нижче

зазначені меж, тому що при зниженні температури відносна вологість підвищується, а вологість – зменшується.

Ящик являє собою канал з відкритим дном, через який десикант надходить і виходить із зернового шару (рис. 1.2). Під нижньою відкритою

стороною ящика зерно знаходиться під кутом природного укусу. Один кінець кожної коробки відкритий, інший закритий. Коробка приводу відкрита з боку входу осушувача і закрита з боку його виходу з шахти. Вихідна коробка, навпаки, закрита з боку входу і відкрита з боку виходу осушувача з шахти.

Ящик виготовлений з листової оцинкованої сталі товщиною 1,5...2 мм.

Шахтні прямоточні зерносушарки працюють у безперервному режимі. Зерно рухається в шахті як суцільна маса зі швидкістю, яка визначається роботою механізму періодичного або безперервного випуску. Необхідний рівень зерна в сушарці контролюється датчиками мінімального рівня LS(2) і

максимального рівня LS(1), встановленими в бункерах суперсушарки (рис. 1.3).

Датчики рівня контролюють роботу пристрою розвантаження партії: при досягненні мінімального рівня електродвигун вагона-розвантажувача М1 зупиняється, при досягненні максимального рівня і подачі сигналу керування електродвигун вагона-розвантажувача зупиняється. увімкнений. знову.

Сушильний агрегат складається з двох паралельно встановлених камер шахт. Між ними знаходитьться розподільна камера, яка горизонтальними перегородками розділена на три зони. Кожен із сегментів з'єднаний з відвідними каналами (рис. 1.4).

У дві верхні зони подається осушувач, а в нижню – охолоджене повітря. Це ділить кожну шахту на три зони. Дві верхні використовуються для нарівняння і сушіння, нижні – для охолодження. При цьому в першій зоні

сушіння видаляється поверхнева волога, температура регулюється за допомогою насадки термоблока; Капілярна волога випаровується у другій зоні сушіння, тут температура низька, яка регулюється заслінками в каналі подачі.

Зернові бункери розташовані над шахтами. Шахти і бункери кріпляться до металевих швелерів, закріплених на фундаменті.

Вивідні пристрої розташовані в нижній частині сушильних відділень. Засувки шкіового типу забезпечують рівномірне вивантаження зерна. У двох шахтах таких стволів 16, кожна з дверей періодично відкривається електроприводом, який отримує команду від приладу керування. Казенна

частина закривається поворотною пружиною. Під їого рамою розташовані розвантажувальні воронки.

Температура десицанту є найважливішим параметром сушіння, вона тісно пов'язана з температурою нагрівання зерна. При високій температурі може значно знижуватися схожість насіннєвого зерна, також руйнуються деякі види харчових білків зерна, погіршуються хлібопекарські властивості борошина. Ступінь термічного ураження зерна залежить від вихідної якості вологи, температури і тривалості витримки в сушарці. При цьому необхідно чітко розрізняти допустимі температури нагрівання зерна і сушильної речовини

(повітря). Температура зерна безпосередньо в сушарці не вимірюється з прийнятною точністю через динаміку процесів сушіння, хоча датчики температури зерна розміщені в кількох зонах зерносушарки. Тому на практиці температуру осушувача вимірюють перед входом у яму та після виходу з неї.

При обґрунтуванні безпечних температур сушіння необхідно враховувати, що насіннєва маса може містити зерна з різною термостійкістю. Безпечні температури для окремих частин насіння можуть перевищувати значення температури для менш термостійких частин зерна.

Оператори зерносушарок, у яких температура зерна не досягає температури десицанту, повинні дотримуватися рекомендацій виробника зерносушарки, з якою вони працюють. Наприклад, деякі виробники

рекомендують для шахтних зерносушарок свого виробництва значення температури, наведені в таблиці 1.2.

Таблиця 1.2.

Максимальні значення температур сушильного агента і зерна

в шахтних зерносушарках

| Культура                              | Кінцева вологість, % | Макс. темпер. повітря, °C  | Макс. темпер. зерна, °C |
|---------------------------------------|----------------------|--|-------------------------|
| Кормова пшениця, ячмінь, овес         | 15-16<br>15          | 125<br>85 при поч.волог.<=20%  | 55-60<br>45             |
| Насіння пшениці, ячменя, вівсу        | 15<br>15             | 75 при поч.волог.>20%<br>85 при поч.волог.<20%                           | 45<br>45                |
| Ячмінь для пивоваріння                | 15<br>12<br>12       | 75 при поч.волог.>20%<br>70 при поч.волог.<=20%<br>65 при поч.волог.<20% | 45<br>45<br>45          |
| Просо продовольче<br>Ріпак та гірчиця | 15<br>7-9            | 90<br>80-85 залежно від моделі сушарки                                   | 45<br>50                |

## РОЗДІЛ 2

### ДОСЛДЖЕННЯ ОБ'ЄКТА АВТОМАТИЗАЦІЇ

Для розробки системи автоматичного керування необхідно ретельно

вивчити та проаналізувати динамічні властивості об'єкта керування (далі ОК).

Зерносушарка це такий ОК, характеризується великою кількістю вхідних і вихідних значень. На якість сушіння зерна впливає такий фактор,

як температура сушильного агента.

#### 2.1. Математична модель об'єкта за результатами теоретичних

досліджень

**НУБІЙ України** Стабілізація температури осушувача здійснюється за рахунок витрати палива, що подається в повітронагрівач, або за допомогою регульовання

швидкості припливу повітря з навколишнього середовища. Враховуючи конструкцію шахтної зерносушарки, рекомендується вибрати другий спосіб використання відпрацьованого осушувача.

**НУБІЙ України** Повітронагрівачі на рідкому або газоподібному паливі з камерого згоряння мають складний процес теплообміну, що відбувається в умовах рухомого і випромінюючого середовища у взаємному зв'язку окремих процесів

(рух середовища, дифузія, горіння, зміна агрегатного стану), властивості та склад середовища тощо). Через складність вихідної системи рівнянь, що

описують всю сукупність процесів теплообміну, для визначення динамічних властивостей повітронагрівачів можна використовувати спрощене рівняння тепломасового балансу. Аналітичний метод визначення динамічних

**НУБІЙ України** характеристик дозволяє усереднити руційні сили взаємодіючих середовищ і прийняти умову лінійності зміни параметрів процесу по всій довжині теплообмінника.

Для сільськогосподарських повітронагрівачів динамічні

**НУБІЙ України** характеристики функціями температури теплоносія в часі, коли змінюється споживання палива або електроенергії.

До повітронагрівачів прямого нагріву відносяться повітронагрівачі, в

яких теплоносій отримують шляхом змішування димових газів з повітрям.

Тепло, отримане від згоряння розпиленого палива, частково передається випромінюванням і конвекцією через стінки камери згоряння, а інша частина передається шляхом прямого змішування газів згоряння з потоком повітря.[1]

Теплопередача через стінки камери згоряння визначає інерційність об'єкта і його динамічні властивості. Тому завдання отримання динамічних

**НУБІЙ України** властивостей об'єкта зводиться в основному до визначення кількості тепла, переданого через стінку і збереженої в ній під час перехідного режиму.

## 2.2. Розроблення та дослідження імітаційної моделі об'єкта автоматизації із використанням програмних продуктів МАТЛАВ

# НУБІН України

Зерно має значну вологість. Для кращих умов зберігання і транспортування необхідно знизити вміст вологи в зерні.

# НУБІН України

За словами Сакун В.А. Сухими вважають зерна, якщо їх вологість менше 14%, середньої сухості 14 - 16%, вологими 16 - 17% і для зерна вісса і кукурудзи 16 - 18% і вологими, коли вологість перевищує 17% і для овеса і зерна кукурудзи 18%.

# НУБІН України

Існує багато спосібів зниження вологи, але в цьому випадку вологу із зерна слід видаляти випаруванням, тобто висушуванням. Поширеним способом сушіння зерна в промислових зерносушарках є конвекційне сушиння, тобто. Х. сушіння в потоці десиканта - нагрітого повітря і регулюється витяжним механізмом.

# НУБІН України

Процес сушіння полягає в підведенні тепла до зерна, що висушується, що призводить до випарування вологи. Для видалення випарованої вологи, насиченої вологою, що дифундує з поверхні зерна, використовують повітря або суміш продуктів згоряння повітря і палива.

# НУБІН України

З цієї причини сушіння є процесом дифузії, з одного боку, і термічним процесом, з іншого. Це складний технологічний процес, який змінює властивості зерна.

# НУБІН України

Процес сушіння зернових продуктів починається з випарування вологи з поверхні зерна. Зі зменшенням вологи на поверхні починається дифузія вологи від центру зерна до його поверхні. Зі зниженням вмісту вологи в процесі сушіння температура на поверхні і всередині поступово підвищується.

# НУБІН України

Коли середня вологість зерна досягне рівноважного значення, тобто стане рівною рівнотермічній вологості навколошнього повітря, сушіння зерна закінчується. Температура зерна в цей момент наближається до температури синтетичного - повітря.

У результаті вивчення процесу сушіння можна отримати набір кінетичних кривих. Крива кінетики сушіння - це зміна середньої вологості зерна в процесі сушіння. Крива кінетики нагрівання матеріалу - це зміна середньої температури зерна в процесі сушіння.[1]

Сушка ділиться на два етапи. На першому етапі відбувається видалення вологи, що можна розглядати як випаровування вологи з відкритої поверхні. На другому етапі видаляється зв'язана влага. Протягом цього часу тиск водяної пари на поверхні матеріалу стає функцією температури матеріалу та його об'єму на поверхні. За табличними даними отримано рівняння залежності

тиску насиченої водяної пари від температури, мм. рт. ст.: ○ ○

$$P_{\text{нас}} = 5.343124 + 0.027872 \cdot t + 0.032135 \cdot t^2 - 3.40325 \cdot 10^{-4} \cdot t^3 + 7.719212 \cdot 10^{-6} \cdot t^4 \quad (2.1)$$

Це рівняннями можемо використати для визначення вмісту вологи пароводяної суміші (кг водяної пари/кг сухого повітря):

$$dn = 0.622 \cdot \frac{\varphi \cdot P_{\text{нас}}}{P_b - \varphi \cdot P_{\text{нас}}} \quad (2.2)$$

де: 0,622 – відношення мольних мас водяної пари і повітря,  $\varphi$  – це відносна вологість повітря,  $P_b$  – це загальний (барометричний) тиск парогазової суміші.

Процес сушіння зерна у статичному режимі в зображені матеріальних і енергетичних балансів. Мат. модель сушіння у вигляді «чорного ящика» зображена на рис. 2.1.

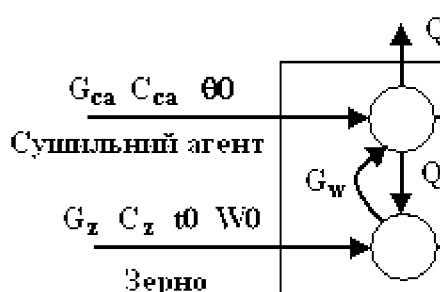


Рис. 2.1. Структурна схема процесу сушіння зерна

У структурній схемі процесу сушіння:  $G_{ca}$ ,  $G_z$  – витрати сикативу і зерна,  $C_{ca}$ ,  $C_z$  – теплоємність сухого повітря і зерна,  $t_0$  і  $\theta_0$  – початкові значення

температури зерна і сикативу,  $t$  і  $\theta$  – температури тих самих продуктів на виході із сушарки,  $W_0$  та  $W$  – початкова та кінцева вологість зерна,  $G_w$  – випарена вологість зерна,  $Q_h$  і  $Q_w$  – витрати тепла на нагрівання зерна та випаровування вологи,  $\alpha$  – теплота коефіцієнт передачі від повітря до зерна. Давайте наведемо рівняння енергетичного балансу для осушувача, гарячого повітря та зерна. Ми вважаємо, що тепло від нагрітого повітря використовується для нагрівання зерна та випаровування вологи:

$$\begin{aligned} G_{ca} \cdot C_{ca} - Q_w - Q_h - Q_{ca\ aux} &= 0 \\ G_z \cdot C_z + Q_h - Q_{z\ aux} &= 0 \end{aligned} \quad (2.3)$$

Матеріальний баланс по зерну:

$$G_z - G_w - G_{z\ aux} = 0, \quad (2.4)$$

де:  $Q_{ca\ aux}$ ,  $Q_{z\ aux}$ ,  $G_{z\ aux}$  – витрати тепла зерна і сушильного агенту, а також маса зернової продукції на виході з сушарки.

Перший період займає невелику частину часу сушіння зерна, то ми звернемо увагу на сушіння основного другого періоду. В цей період зменшення вологості пов'язане з переміщенням вологи всередині матеріалу. Рушійною

силовою цього періоду сушіння є різниця між вологовмістом зерна  $W$  і рівноважним вологовмістом  $W_p$ . Швидкість сушіння тоді матиме наступний вигляд:

$$-\frac{dW}{d\tau} = K(W - W_p) \quad (2.5)$$

де  $K$  – коефіцієнт сушіння, який характеризує процес вологообміну.

Коефіцієнт  $K$  знаходиться експериментально. Якщо на другому етапі швидкість сушіння представити прямою, то коефіцієнт сушіння буде

розраховуватися так:

$$K = \frac{1}{R} \cdot \frac{1}{\beta} \cdot \frac{1}{\pi^2 a_n^2} \quad (2.6)$$

де:  $R$  – визначальний геометричний розмір тіла (зерна), що висушується, м;  $\alpha$  – коефіцієнт зовнішнього теплообміну, м/с.;  $a_m$  – коефіцієнт провідності масопередачі,  $\text{m}^2/\text{с}$ .

Коефіцієнт масопередачі подібний до тепlopровідності і в основному залежить від форми зв'язку вологи з матеріалом і температури матеріалу і визначає внутрішній транспорт вологи.

Вважаємо, що процес нагрівання частинок (зерен) матеріалу є безградієнтним, об'єм вологи рівномірний і відсутні втрати в навколошнє середовище. Створимо рівняння теплового балансу, щоб визначити залежність між швидкостями нагрівання та сушіння. Для періодичного процесу сушіння це рівняння, де температура та вміст вологи змінюються з часом:

$$\frac{d\bar{\theta}}{d\tau} G' c - \frac{d\bar{W}}{d\tau} r G'_0 = \alpha \cdot F(t - \bar{\theta}) \quad (2.7)$$

Для безперервного процесу вологовміст і температура зерна змінюються за довжиною сушарки:

$$\frac{d\bar{\theta}}{dx} G \cdot c - \frac{d\bar{W}}{dx} r G_0 = \alpha \cdot F(t - \bar{\theta}) \quad (2.8)$$

де  $\bar{\theta}$  – середня температура зерна;  $\bar{W}$  – середній вологовміст зерна;  $c$  – це питома теплоємність зерна;  $r$  – це теплота паротворення;  $t$  – це температура сушильного агенту;  $G$  і  $G_0$  – це витрати вологого і сухого зерна;  $\alpha$  – це коефіцієнт теплообміну;  $F$  – це площа поверхні матеріалу;  $\tau$  – це час;  $x$  – це координата (у напрямку руху зерна).

Розглянемо процес сушіння в зерно-сушарці безперервної дії. Математична модель сушарки спрощена і не враховує першу стадію сушіння, стадію нагрівання зерна. Коефіцієнт теплопередачі від сикативу до зерна також вважається сталою величиною. Значення змінних у рівняннях для визначення коефіцієнта сушіння  $K$  та рівноважної вологості  $W_r$  використовували за

даними вчених, які досліджували процес сушіння зерна, наприклад Єсакова В.Ю.

Таким чином, рівняння рівноважної вологості в частках вмісту сухої речовини має вигляд:

$$W_p = 0.01 \cdot \frac{|\ln(1 - \varphi)|}{5.47 \cdot 10^{-6} \cdot (t + 273)^{0.435}} \quad (2.9)$$

Значення відносної вологості повітря знаходимо з рівняння:

$$\varphi = \frac{(P_b - P_{\text{ нас}}) \cdot dn}{0,0622 \cdot P_{\text{ нас}}} \quad (2.10)$$

Коефіцієнт сушіння, 1/с, знаходимо з рівняння:

$$K = \frac{5.55 \cdot 10^{-4} \cdot t^2 - 0.00796 \cdot t}{3600} \quad (2.11)$$

Перетворимо статичне рівняння процесу сушіння в динамічне і створимо систему диференціальних рівнянь для температури зерна, сикативу (повітря) в градусах С і вологості зерна в частках. Наведемо рівняння:

$$\frac{d\theta}{d\tau} = \frac{\sigma \cdot \alpha}{C_{ca}} \cdot (t - \theta) + \frac{G_z \cdot \sigma \cdot \alpha}{C_z \cdot (1 + 0,2\%)} \cdot \frac{(\theta - t)}{r \cdot 10^{-2}} \cdot \frac{d0,2\%}{d\theta}, \quad (2.12)$$

$$\frac{d\theta}{d\tau} = \frac{2,47 \cdot 10^{-4} \text{ Вт}/(\text{м}^2 \cdot \text{град})}{1050 \text{ Дж}/(\text{кг} \cdot \text{град})} \cdot (68^\circ \text{C}) + \frac{25000 \text{ Дж}/\text{кг}}{16,7 \text{ кг} \cdot \text{с} \cdot (1 + 0,2\%)} \cdot \frac{d0,2\%}{d\theta}, \quad (2.13)$$

$$\frac{dW}{d\tau} = -K \cdot (W - W_p), \quad (2.14)$$

де  $\sigma$  – це питома поверхня зерна  $\text{м}^2/\text{кг}$ ;  $\alpha$  – це коефіцієнт тепловіддачі від повітря до зерна,  $\text{Вт}/\text{м}^2 \cdot \text{град}$ ;  $r$  – це теплота пароутворення,  $\text{Дж}/\text{кг}$ .

Вихідними даними математичної моделі сушіння зерна є: витрата зерна на сушіння  $G_z = 16,7 \text{ кг/с}$  або  $60 \text{ т/год}$ , температура зерна  $\theta_0 = 15 \text{ град.С}$ , його теплоємність  $C_z = 3000 \text{ Дж/(кг град.)}$  і початкова вологість  $W_0 = 0,25$ . Гаряче повітря осушувача подається в кількості  $G_{ca} = 25 \text{ кг/с}$  з температурою  $\theta_0 = 95 \text{ градусів С}$  і теплоємністю  $C_{sa} = 1050 \text{ Дж/(кг градусів)}$ . Прийнято питома поверхня зерна  $\sigma = 2,47 \text{ м}^2/\text{кг}$ , вологість пароводяної суміші в сухарні  $d_h = 0,012 \text{ кг пари/кг сухого повітря}$ , теплота пароутворення  $r = 2500 * 10^3 \text{ Дж/кг}$ , барометричний тиск  $P_b = 750 \text{ мм рт.ст.}$ , коефіцієнт тепловіддачі від повітря до зерна  $\alpha = 10 \text{ Вт}/(\text{м}^2 \text{ град.})$ . [1]

Розробимо модель в середовищі Simulink MATLAB. Оскільки модель досить громізка, розділимо її на дві частини. В основній частині (рис. 2.2) складаємо рівняння, які являють собою систему диференціальних рівнянь і розраховуємо температуру зерна, температуру повітря та вологість зерна.

# НУБІП України

# НУБІП України

# НУБІП України

# НУБІП України

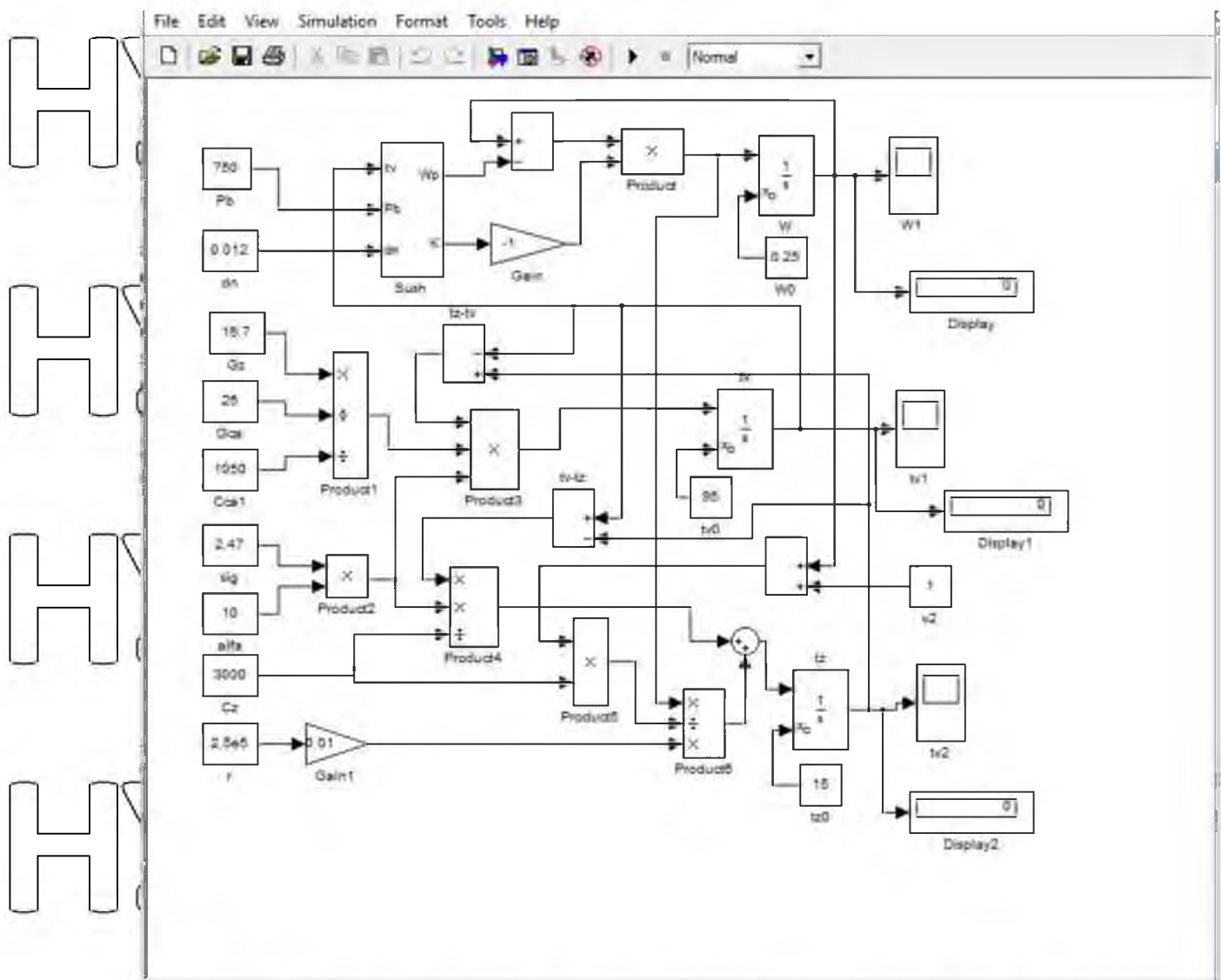
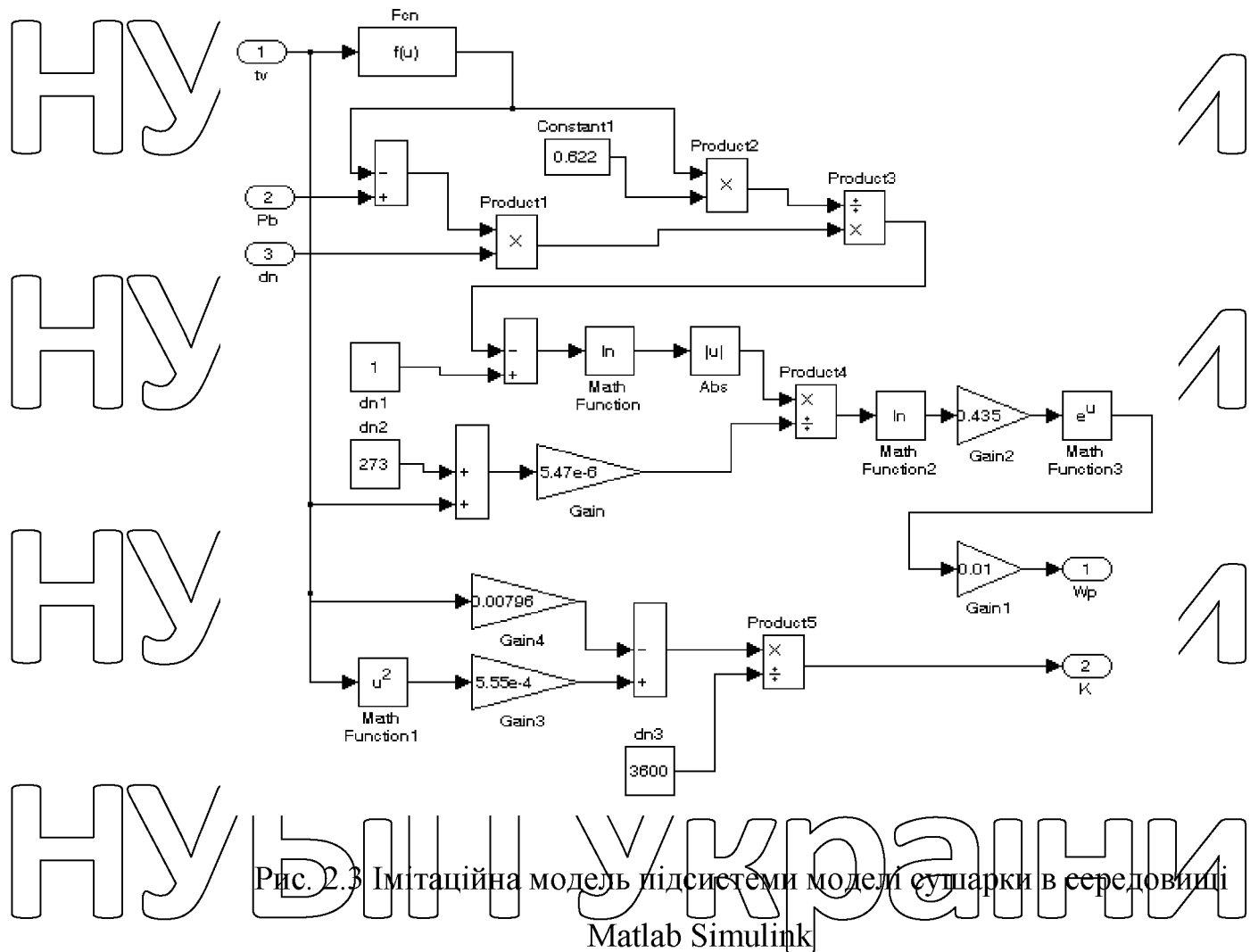


Рис. 2.2. Імітаційна модель зерносушарки в середовищі Matlab Simulink

Створимо підсистему допоміжних рівнинь, які обчислюють тиск насиченої водяної пари, відносну вологість, рівноважний вміст вологи та коефіцієнт висихання (рис. 2.3).

**НУБІП України**

**НУБІП України**



Підсистема створюється шляхом вибору частини моделі та використання

пункту меню **Edit**→**Create Subsystem**. Позначимо входи та виходи підсистеми позначеннями змінних моделі. Щоб ввести поліном, який обчислює тиск на сиченій парі, ми використовуємо блок **Fcn** із бібліотеки **Functions & Tables**.

Вхідні дані вводяться за допомогою **Constant** блоків, а результати, значення температури зерна повітря та вологості зерна, відображаються на віртуальному осцилографі **Scope**. Давайте встановимо час сушіння (моделювання) на 1500 секунд. Для цього введіть кількість секунд у параметрах моделювання

**Simulation**→**Simulation Parameters** у вікні **Stop time**.

У результаті виконаної операції отримуємо криві прискорення температур зерна (рис. 2.4) і сикативу під час сушіння (рис. 2.5), а також криву зміни вологості зерна (рис. 2.6).

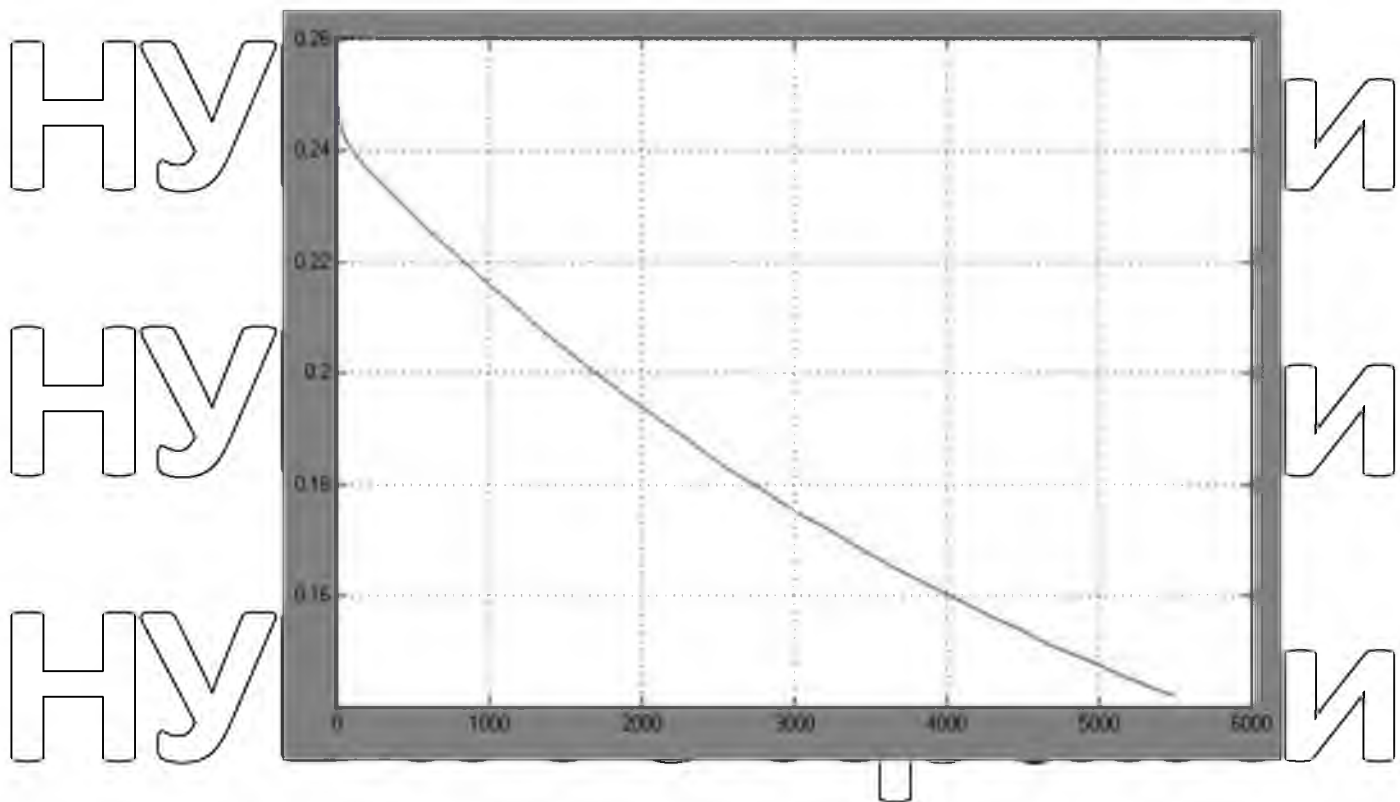


Рис. 2.6. Зміна вологості зерна під час сушіння

Зайдемо передаточну функцію ОК:  
Для цього погрібно визначити постійну часу  $T$  з графіка (рис 2.7)

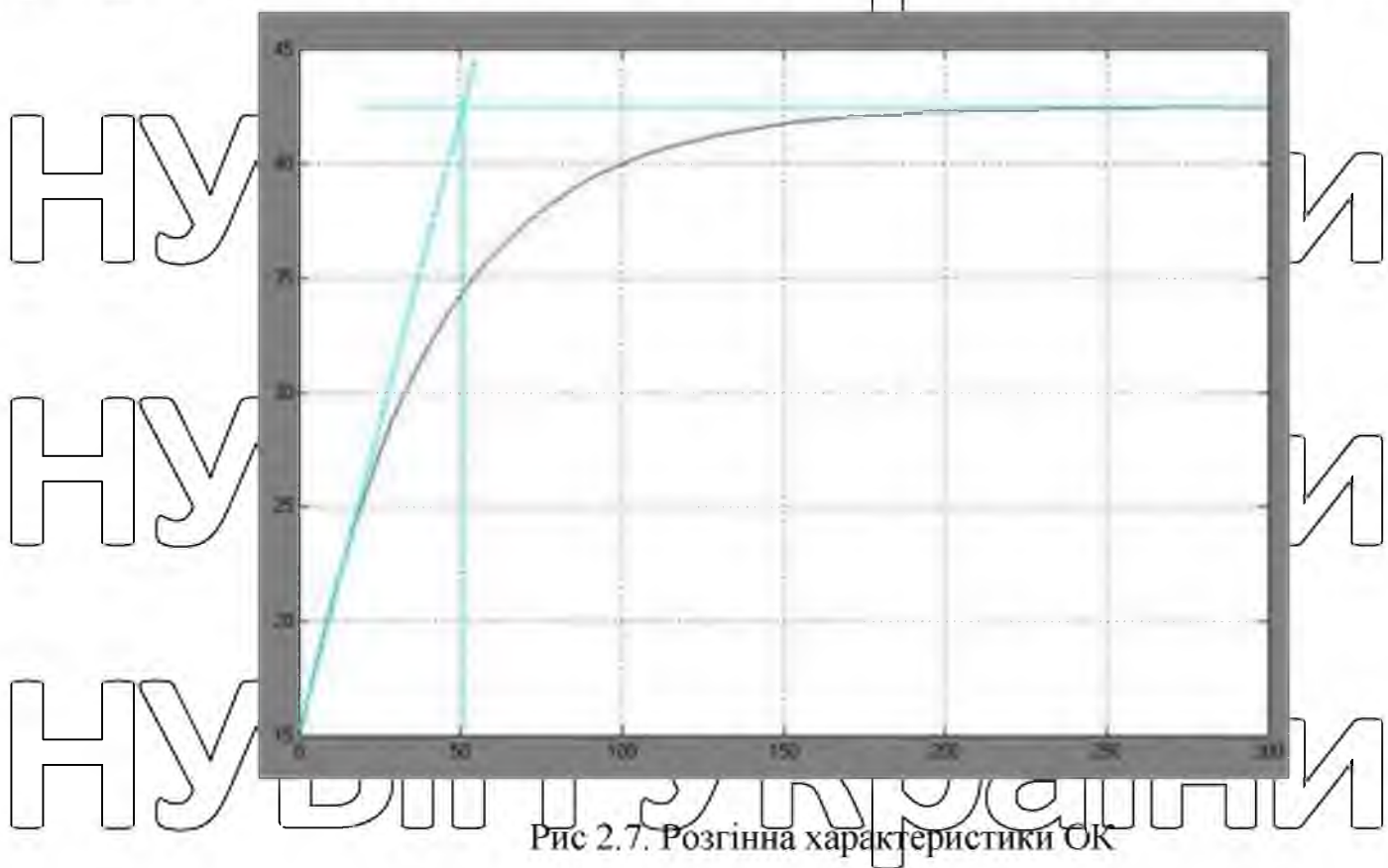


Рис 2.7. Розгинна характеристики ОК

З графіка видно, що постійна часу  $T_{об} = 51\text{с}$

Час запізнення для каналу регулювання складає, с:

$$\tau_3 = \frac{V_{mpub}}{V_{c.a.}} \quad (2.15)$$

Де  $V_{mpub}$ , м<sup>3</sup>/об'єм трубопроводу, по якому надходить сушильний агент,  
 $V_{c.a.}$ , м<sup>3</sup>/с-об'єм сушильного агенту

$$V_{mpub} = \pi R^2 L = S^* L \quad (2.16)$$

де R - радіус трубопроводу, L – довжина трубопроводу.

**НУБІП** **Україні**  $\frac{V_{mpub}}{V_{c.a.}} = \frac{1 \cdot 10^{-10} \text{ м}^3}{G_{ca} \rho} \quad (2.17)$   $\quad (2.18)$

де  $\rho$  – густина гарячого повітря при температурі 90 °C.

**НУБІП** **Україні**  $V_{c.a.} = 25 \cdot 1.293 = 19.33 \text{ м}^3/\text{с} \quad (2.19)$

Тоді час запізнення:

$$\tau_3 = \frac{10}{19.33} = 0.52 \text{ с} \quad (2.20)$$

**НУБІП** **Україні**  $K = \frac{\Delta y}{\Delta x} \quad (2.21)$

Коефіцієнт передачі

де  $\Delta x$  - зміна кількості осушувача,  $\Delta y$  – зміна температури, до якої потрібно нагрівати вернові продукти.

**НУБІП** **Україні**  $\Delta y = y_1 - y_2 \quad (2.22)$

$$\Delta x = x_1 - x_2 \quad (2.23)$$

де  $y_1$  – температура нагрітого зерна при початковій температурі 15 °C і кількості десиканту  $x_1 = 25 \text{ кг/с}$ ,  $y_2$  – температура нагрітого зерна при початковій температурі 15 °C і кількості десиканту  $x_1 = 20 \text{ кг/с}$ .

**НУБІП** **Україні**

**НУБІП України**

Тепер передатна функція об'єкта:

$$K = \frac{42.27 - 38.53}{25 - 20} = 0.75^{\circ}\text{C} \cdot \text{s}/\text{kg}, \quad (2.24)$$

$$W(p) = \frac{0.75}{51p + 1} e^{-0.52p}, \quad (2.25)$$

**НУБІП України**

**2.3. Вибір алгоритму керування об'єктом**

Динамічні властивості ОК дають змогу визначити алгоритм керування на етапі проєктування. Для цього зробимо аналіз залежності між постійною часу

**НУБІП України**

та часом затримки ОК. Залежність вибору закону регульовання наведені в таблиці 2.1

**НУБІП України**

Таблиця 2.1

Залежності вибору закону

| Закон керування | Позиційний | Лінійний           | Імпульсний |
|-----------------|------------|--------------------|------------|
| $\tau/T$        | $< 0.2$    | $0.2 < \tau/T < 1$ | $> 1$      |

Після проведених розрахунків ми отримали таке співвідношення

$$\frac{\tau}{T} = \frac{0,52}{51} = 0,01 < 0,2 \quad (2.26)$$

**НУБІП України**

На підставі даних, наведених у таблиці №1, можна вибрати закон керування положенням. Але оскільки алгоритм позиційного регульовання характеризується значною амплітудою власних коливань, особливо для такого інерційного об'єкта, як сушарка, де регульовання температури вимагає високої точності, високої швидкості регульовання та відсутності перерегульування, доцільно вибрати лінійний закон регульовання.

**НУБІП України**

Визначаємо динамічний коригуючий коефіцієнт  $R_d$ .

**НУБІП України**

Оскільки об'єкт керування є статичним, а переходний процес аперіодичним, то значення динамічного коефіцієнта розраховується за формуллою (2.27).

**НУБІП України** (2.27)

де  $y_1$  – це максимальне динамічне відхилення;  $K_0$  – коефіцієнт передачі ОК;  $y_{max}$  – максимально можливе значення збурення по навантаженню (беремо у відсотках переміщення регулювального органу).

**НУБІП України** (2.28)

Далі отримуємо алгоритм керування на основі графічних залежностей (рис. 2.8). За діаграмою прискорювальної характеристики виділимо залежність динамічного коефіцієнта керування від динамічних властивостей об'єкта керування для типового переходного процесу.

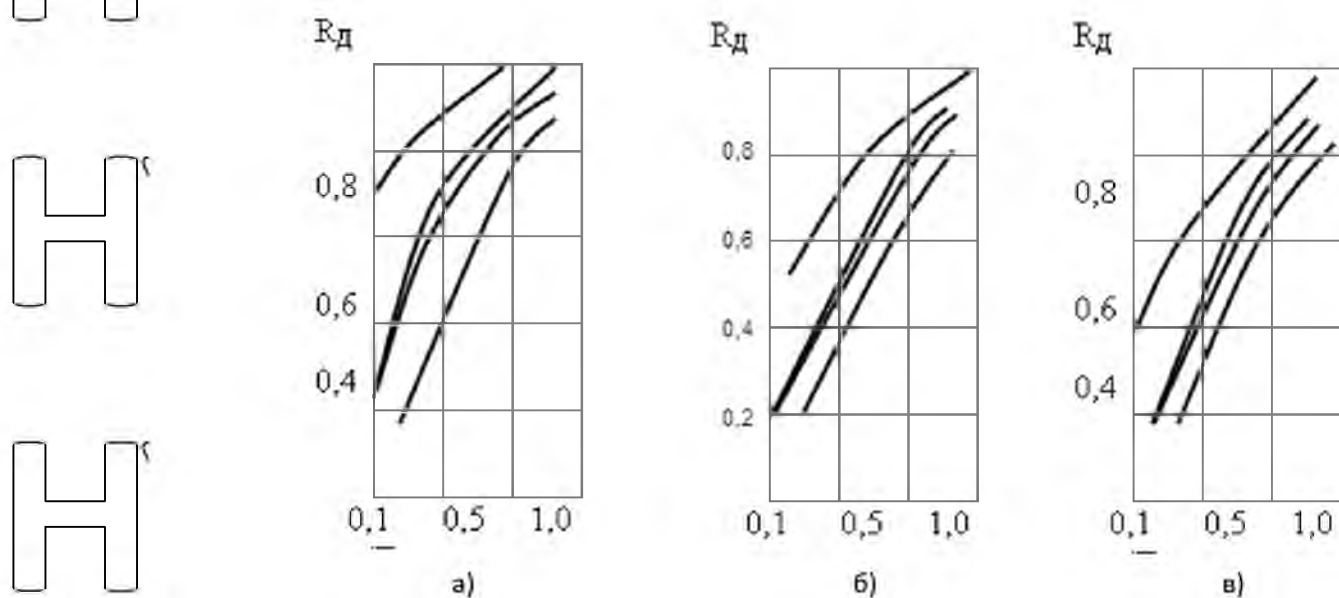


Рис. 2.8. Залежність динамічного коефіцієнта регулювання від динамічних властивостей об'єкта керування.

**НУБІП України**

а) для типового аперіодичного переходного процесу; б) для коефіцієнта передач об'єкта типового переходного процесу з перерегульованим на 20%; в) для типового нерехідного процесу з мінімальним інтегральним показником якості; 1-П алгоритм керування, 2-І алгоритм керування, 3-ПІ алгоритм керування; 4 Алгоритм ПД-регулювання.

**НУБІП України**

Таблиця 2.2

## Відносний час регулювання

| Алгоритм керування                    | Об'єкт     | Відносний час регулювання |                             |                                       |
|---------------------------------------|------------|---------------------------|-----------------------------|---------------------------------------|
|                                       |            | Аперіодичний              | Із 20%-вим перерегулюванням | Із мінімальним інтегральним критерієм |
| Пропорційний                          | Статичний  | 4,5                       | 6,5                         | 9,0                                   |
|                                       | Астатичний | 6,0                       | 8,0                         | —                                     |
| Пропорційно-інтегральний              | Статичний  | 8,0                       | 12,0                        | 16,0                                  |
|                                       | Астатичний | 14,0                      | 16,0                        | 18,0                                  |
| Пропорційно-інтегрально-диференційний | Статичний  | 5,5                       | 7,0                         | 10,0                                  |
|                                       | Астатичний | 9,0                       | 12,0                        | 13,0                                  |

За графіком кривої прискорення виділимо залежність динамічного коефіцієнта керування від динамічних властивостей об'єкта керування для типового переходного процесу з 20% перерегулюванням.

Ми перевіряємо, чи забезпечує цей алгоритм керування заданий час відгуку, визначаючи  $\psi$  з даних, наведених у таблиці 2.

$$t = \psi \tau = 5,5 \cdot 0,52 = 2,86 \text{ с.} \quad (2.29)$$

де  $\psi$  – це відносний час регулювання, який дорівнює 5,5 для ПІД алгоритму керування.

З розрахунків ми бачимо, що вибраний алгоритм керування здатний дати нам заданий час регулювання, так як виконується умова  $t < T_{\text{ок}}$ , тобто  $2,86 < 51$ .

с.

# НУБІП України

**РОЗДІЛ 3**

**ВИБІР РЕГУЛЯТОРА ТА ОБГРУНТУВАННЯ**

**ПАРАМЕТРІВ ЙОГО НАЛАШТУВАНЬ**

## 3.1. Реалізація алгоритму керування

Відповідно до функціональної схеми автоматизації системи

управління складається з:

- програмне логічне керування (ПЛК), яке отримує інформацію про температуру та висоту зерна від датчиків температури в трьох зонах сушарки та від датчиків температури зерна (верхнього та нижнього рівня) та формує керуючі сигнали для перетворювача частоти та регулятора потужності;

- Модуль розширення аналогового входу для підключення аналогових датчиків температури до ПЛК;

- частотний перетворювач, який за алгоритмом PID безпосередньо

керує частотою обертання вала електродвигуна, що приводить в рух

- відцентровий вентилятор, і змінює потік повітря;

- Електродвигуни для приводу зернових транспортерів, електродвигуни для приводу повітряних клапанів.

# НУБІП України

# НУБІП України

### 3.1.1. Вибір промислових пристройк керування

НС

Для нашого проекту ми вибрали обладнання щоб керувати технологічним обладнанням, це програмний логічний контроллер **Arduino Mega 2560 Rev3**

НС

(рис. 3.1).

НС



НС

Рис. 3.1. Програмний логічний контролер Arduino Mega 2560 Rev3

НС

Arduino Mega 2560 Rev3 — відкритий мікроконтролерний пристрій, який широко використовується для розробки різних електронних пристройв і проектів. Це один із найпотужніших і розширюваних пристройв серії Arduino, який має більше контактів і функцій, ніж більшість інших пристройв Arduino.

НУБІЙ Українські

Arduino Mega 2560 Rev3 має 54 цифрових входи/виходи, 16

НУБІЙ Українські

аналогових входів і 4 порти UART для зв'язку з іншими пристроями. Він також має 256 кілобайт флеш-пам'яті для зберігання програмного коду та 8 кілобайт операцівної пам'яті для зберігання даних. Крім того, його можна

розширювати за допомогою різних модулів і доповнень, що дозволяє створювати більш складні та функціональні пристрой.

Основні технічні характеристики ПЛК Arduino Mega 2560 Rev3 наведені в таблиці 3.1.

НУБІП України

НУБІП України

НУБІП України

НУБІП України

НУБІП України

НУБІП України

Таблиця 3.1

## Технічні характеристики Arduino Mega 2560 Rev3

|                                     |  |
|-------------------------------------|--|
| Напруга живлення                    | 7-12 В польотного струму   |
| Допустимі межі напруги живлення     | 6-20 В   |
| Кількість дискретних входів/виходів | 54   |
| Аналогові входи                     | 16   |
| Пам'ять                             | Вбудована 256kB  |
| Напруга живлення датчиків           | 19,2...30,0 В  |
| Струм дискретного входу             | 40 мА  |
| Струм дискретних виходів            | 3,3 В 50 мА  |
| Швидкість передачі даних            | UART (серійний порт): швидкість передачі даних може становити до 115200 біт на секунду.<br>I2C (TWI): швидкість передачі даних становить до 400 кілобіт на секунду.<br>SPI: швидкість передачі даних може бути до 50 мегабіт на секунду. |
| Робоча температура навк. середовища | 10...+55°C   |

## 3.1.2. Вибір первинного вимірювального перетворювача САК

До основного передавача (ПВГ) висуваються такі вимоги:

- Лінійність і чіткість статичної характеристики (допустима

нелінійність не повинна перевищувати 0,1...3,0%);

- висока чутливість;

- стабільність властивостей у часі;

- швидкість дії;

- стійкість до хімічних впливів контролюючого та навколишнього

середовища (первинний перетворювач у захисному кокусі);

мінімальний негативний вплив на контрольні параметри та простота монтажу та обслуговування.

Передавач, що міститься в контролері, вибирається в два етапи:  
на першому етапі визначається тип перетворювача на основі типу  
контрольованого параметра об'єкта керування та умов його роботи;

- На другому етапі, підібравши всі елементи регулятора за  
каталогами, знайти його типорозмір.

**НУБІТ УКРАЇНИ**  
Рекомендується підбирати ПВП таким чином, щоб межі його  
вимірювання охоплювали діапазон змін контролюваної ним величини і  
були максимально наблизжені до нього, не забуваючи про необхідну

перевантажувальну здатність ПВП і можливість підключення до обраного  
електронного блоку керування регулятора. Особливу увагу слід звернути на

**НУБІТ УКРАЇНИ**  
швидкість (інерційність) ПВП, яка характеризується її постійною часу.  
Беручи до уваги вимоги до діапазону вимірювання та інерційності, а  
також особливості підключення датчиків температури до ПЛК, було обрано

термоперетворювач опору загальнопромислового зразка ТСМУ-2212-50М,  
технічні характеристики якого наведені в Таблиця 3.2.

**НУБІТ УКРАЇНИ**  
Таблиця 3.2.

Основні технічні характеристики термоперетворювача опору ТСМУ-2212

|  |                         |
|--|-------------------------|
| Діапазон вимірюваних температур, °C      | -250 +50                |
| Номінальна статична характеристика (НСХ) | 50М                     |
| Клас допуску                             | В                       |
| Індикатор тепової інерції, с             | 8<br>(при Ø гільзи 6мм) |
| Ступінь захисту від пилу та вологи       | IP55                    |
| Матеріал захисної арматури               | Ст. 12Х18Н10Т           |
| Діапазон умовного тиску, мПа             | 0,4 - 4,0               |
| Стійкість до вібрації                    | Група вик. N3           |
| Кліматичне виконання                     | УЗ                      |

Теплопередавачі з рівномірним вихідним сигналом типу ТСМУ

**НУБІТ УКРАЇНИ**  
використовуються для безперервного перетворення температури  
навколошнього середовища (газів, парів, рідин і сипучих матеріалів) в  
пропорційний струмовий сигнал 0-5 або 4-20 мА протягом тривалого часу

передача на відстань. Датчик складається з вбудованого в головку передавача з вихідним сигналом 0-5 або 4-20 мА і термодатчика (рис. 3.3). Вимірювана змінна температура лінійно перетворюється термоочутливим елементом у пропорційну зміну омічного опору, який, у свою чергу, перетворюється в вихідний струмовий сигнал передавача.

Термоперетворювач ТСМУ-2212 відповідає вимогам ДСТУ 2858-94



Рис. 3.3. Термоперетворювач опору з уніфікованим вихідним сигналом ТСМУ-2212

|                    | Коло | Конт. |
|--------------------|------|-------|
| Датчик із роз'ємом | -Un  | 4     |
|                    | +Un  | 1     |
|                    |      |       |

|                    | Коло | Конт. |
|--------------------|------|-------|
| Датчик із штучером | -Un  | -Un   |
|                    | +Un  | +Un   |
|                    |      |       |

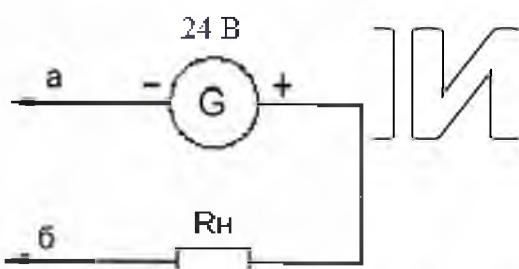


Рис. 3.4. Схема зовнішніх з'єднань датчиків типу ТСМУ із вихідним сигналом 4-20 мА

Для отримання передатної функції ТВЗІ скористаємося його

номінальною статичною характеристикою (рис. 3.5).

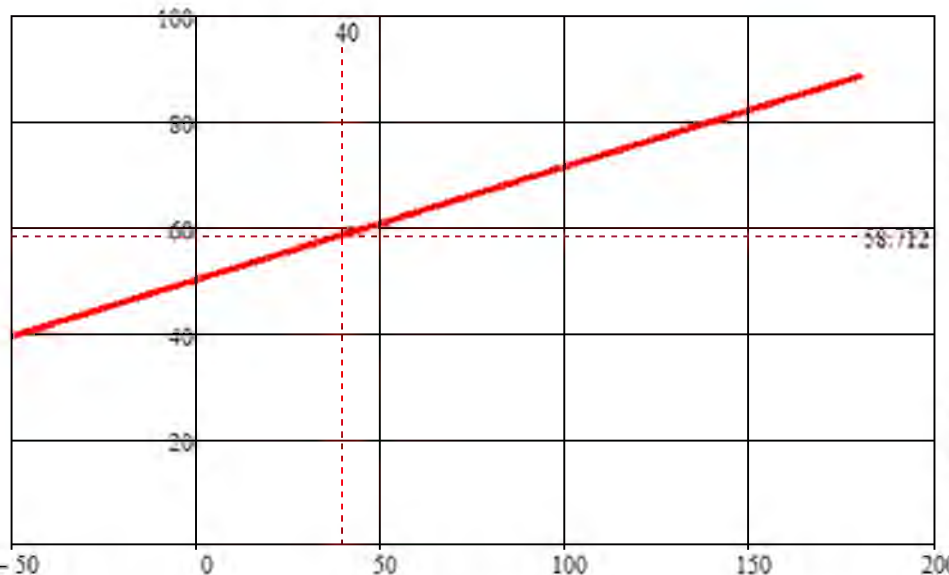


Рис. 3.5. Номінальна статична характеристика термоперетворювача опору ТСМУ-2212 (50М)

За динамічними властивостями теплоперетворювач є інерційною

данкою передатною функцією якого виглядає так:  $W_{пвл}(s) = \frac{k_{пвл}}{T_{пвл} \cdot s + 1}$ .

Коефіцієнт передачі  $k_{пвл}$  (чутливість) визначається за формулою

$$k_{пвл} = \frac{\Delta I}{\Delta T} = \frac{20 - 4}{50 - (-25)} = 0,217 \frac{mA}{^{\circ}C}, \quad (3.1)$$

де  $\Delta T$  – це різниця значень вимірюваних датчиком температур,  $^{\circ}C$  (таблиця 3.2);  $\Delta I$  – це різниця струмів, що дорівнює значенням температур в робочому діапазоні, мА.

Беручи до уваги, що показник теплової інерції сприймаючого елемента складає  $T_{пвл} = 8$  с (таблиця 3.2), передатна функція датчика ТСМУ-2212

$$W_{пвл}(s) = \frac{k_{пвл}}{T_{пвл} \cdot s + 1} = \frac{0,217}{8 \cdot s + 1}.$$

### 3.1.3. Вибір виконавчого механізму САК

Для вибору типу і розміру вентилятора при активному провітрюванні необхідно знати розрахункові значення повітродобійну, необхідного для видалення надлишкової вологи з шару зерна, і температуру, а також загальний тиск .

Вентилятор повинен забезпечувати потік повітря  $400 \frac{m^3}{год}$  з поступовим зниженням до  $100 \frac{m^3}{год}$ . Враховуючи, що в повністю завантажену сушарку міститься 40 тонн зерна пшениці, отримуємо, що вентилятор має

$16000 \frac{m^3}{год}$  (при витраті повітря  $400 \frac{m^3}{год}$ ).  
 $4000 \frac{m^3}{год}$  (при витраті повітря  $100 \frac{m^3}{год}$ )

Крім того, необхідно враховувати, що повітродувка повинна забезпечувати необхідний тиск для проходження повітря через щільний шар зернової маси. Відомо, що радіальні вентилятори (відцентрові вентилятори) можуть створювати значно більший статичний тиск (до  $2000\text{--}2500$  Па), ніж осьові ( $30\text{--}300$  Па).

Врахували винесене, для використання в даній системі керування було обрано відцентровий (радіальний) вентилятор ВЦ4-70-8 (рис. 3.6), призначений для роботи в стаціонарних системах вентиляції, особливо зернових.

# НУБІП України

# НУБІП України

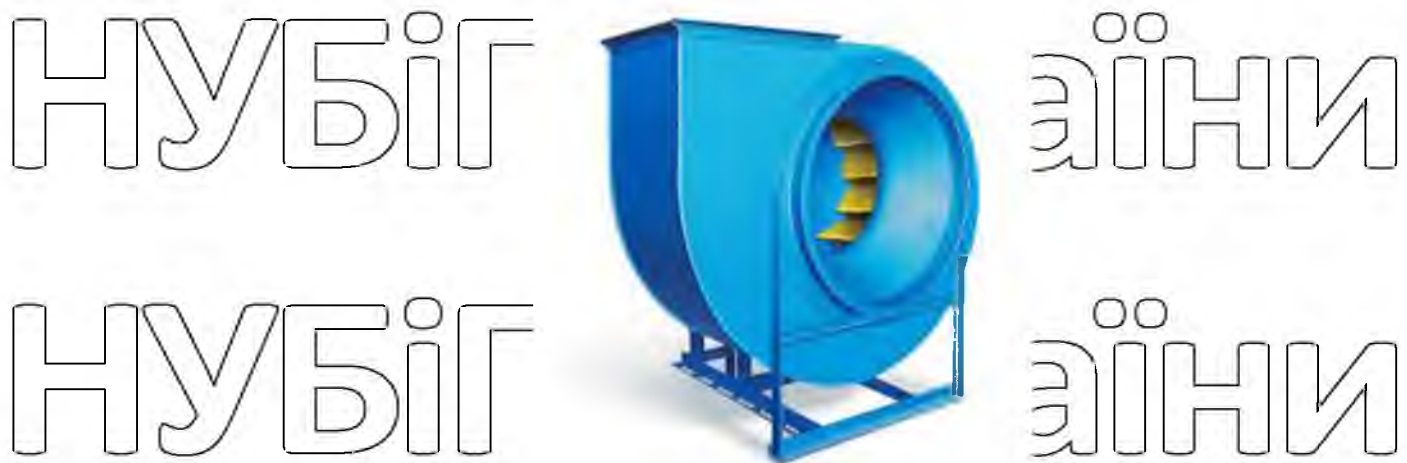


Рис. 3.6. Зовнішній вигляд вентилятора В-Ц4-70-8

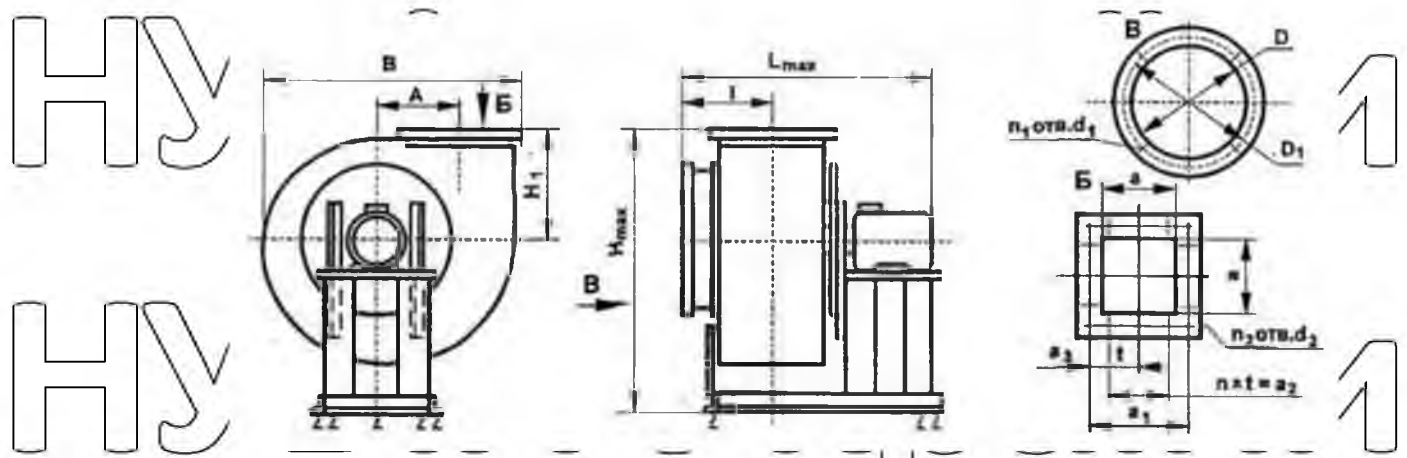


Рис. 3.7. Монтажне виконання вентилятора В-Ц4-70-8

**Таблиця 3.3.**  
Габаритні та монтажні розміри вентиляторів типу В-Ц4-70

| № вент. | A     | a   | a <sub>1</sub> | a <sub>2</sub> | a <sub>3</sub> | B    | D    | D <sub>1</sub> | H <sub>max</sub> | H <sub>1</sub> | L <sub>max</sub> | I     | d <sub>1</sub> | d <sub>2</sub> | n | n <sub>1</sub> | n <sub>2</sub> | t   |
|---------|-------|-----|----------------|----------------|----------------|------|------|----------------|------------------|----------------|------------------|-------|----------------|----------------|---|----------------|----------------|-----|
| 2,5     | 162,5 | 175 | 205            | 100            | 52,5           | 480  | 253  | 280            | 508              | 197            | 475              | 152,5 | 7              | 7x10           | 1 | 8              | 8              | 100 |
| 3,15    | 208   | 224 | 255            | 200            | 27,5           | 602  | 323  | 345            | 623              | 240            | 541              | 177   | 7              | 7x10           | 2 | 8              | 12             | 100 |
| 4       | 260   | 280 | 310            | 200            | 55             | 742  | 403  | 430            | 762              | 291            | 648              | 205,5 | 7              | 7x10           | 2 | 8              | 12             | 100 |
| 5       | 324   | 353 | 380            | 300            | 40             | 915  | 510  | 530            | 988              | 346            | 760              | 255   | 7x14           | 7              | 3 | 16             | 16             | 100 |
| 6,3     | 410   | 445 | 470            | 400            | 35             | 1143 | 640  | 660            | 1148             | 428            | 937              | 308,5 | 7x14           | 7              | 4 | 16             | 20             | 100 |
| 8       | 520   | 560 | 600            | 300            | —              | 1448 | 820  | 850            | 1493             | 583            | 1179             | 375   | 10x14          | 11             | 4 | 16             | 16             | 50  |
| 10      | 650   | 700 | 750            | 750            | 150            | 1807 | 1000 | 1035           | 1756             | 656            | 1484             | 455   | 12x20          | 12x20          | 3 | 24             | 20             | 130 |
| 12,5    | 812,5 | 875 | 925            | 375            | 150            | 2244 | 1250 | 1285           | 2161             | 811            | 1776             | 543   | 12x20          | 12x20          | 5 | 24             | 28             | 125 |

**НУБІГ України**

Таблиця 3.4.

| Вентилятор | Технічні характеристики вентилятора В-Ц4-70-8      |   |  | Показники в робочій зоні |
|------------|--|---|--|--------------------------|
|            | Потужність електродвигуна приводу вентилятора, кВт | Швидкість обертання робочого колеса, об/хв. | Продуктивність, тис. м <sup>3</sup> /год |                          |
| В-Ц4-70-8  | 11,0   | 950   | 10,0...22,0                              | Напір, Па<br>1020...530  |

Для приводу вибраного вентилятора використовуємо асинхронний трифазний електродвигун АІР132М4 з наступними технічними

Таблиця 3.5.

## Технічні характеристики електродвигуна АІР132М4

| Тип двигуна | Потужність, кВт | Частота обертання валу двигуна об/хв. | ККД, % | cos φ | Маса, кг |
|-------------|-----------------|---------------------------------------|--------|-------|----------|
| АІР132М4    | 11,0            | 1000                                  | 88,5   | 0,85  | 83,5     |

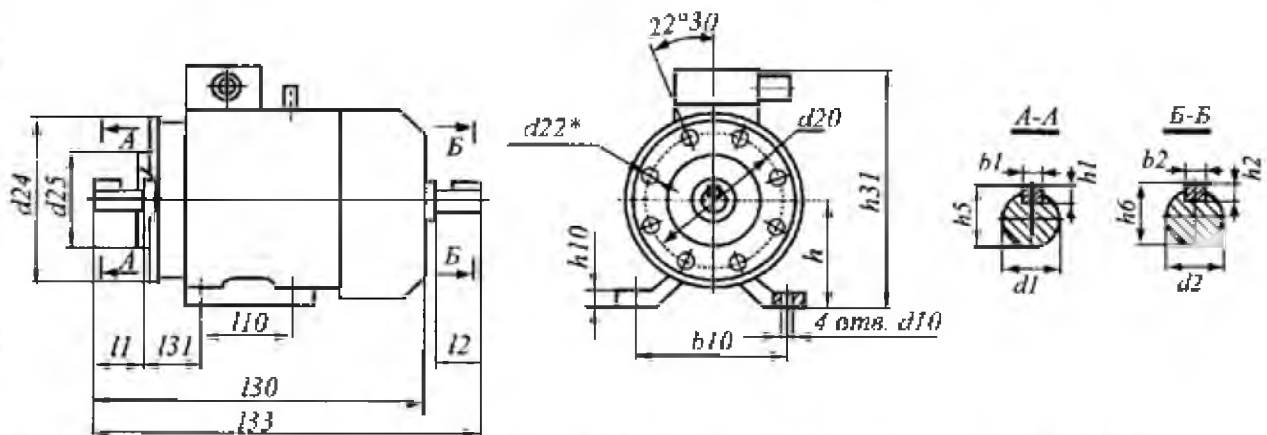


Рис. 4.8. Монтажне виконання електродвигуна АІР132М4

Найбільш доцільний спосіб плавного регулювання обертами вентилятора є частотний. Можливість зміни швидкості таким способом випливає з виразу для синхронної швидкості обертового магнітного поля статора

$$\omega_0 = \frac{2 \cdot \pi \cdot f}{p}, \quad (3.2)$$

із якого ми бачимо, що швидкість  $\omega_0$  є прямо пропорційною частоті напруги, що підводиться до обмоток статора.

Виведемо передатну функцію асинхронного електродвигуна при частотному керуванні. Позначимо  $\omega_{1V}$  швидкість обертання поля статора при частоті  $f_V$ .

З цього відносна швидкість поля

$$v = \frac{f_V}{f_H} = \frac{\omega_{1V}}{\omega_0}, \quad (3.3)$$

де швидкість  $\omega_0$  пов'язана з частотою мережі виразом (3.2).

Введемо поняття фіктивного ковзання

$$s_\phi = \left( \frac{\omega_{1V}}{\omega_0} \right) \cdot s = v \cdot s. \quad (3.4)$$

Дійсна швидкість обертання при частоті  $f_V$

$$\omega = \omega_{1V} \cdot (1 - s).$$

Підставляючи у (3.5) значення  $\omega_{1V}$  із (3.3) з урахуванням (3.4),

визначимо

$$\omega = \omega_0 \cdot (v - s_\phi). \quad (3.6)$$

Для невеликих значень ковзання крутний момент двигуна

і пропорційний ковзанню

$$M = \left( \frac{M_H}{s_H} \right) \cdot s_\phi. \quad (3.7)$$

Підставляючи (3.6) та (3.7) у вихідне рівняння

$$M - M_C = J \cdot \frac{d\omega}{dt}, \quad (3.8)$$

**НУБІЙ України**

(вважаючи при цьому  $M_C = 0$ )  $J \cdot s \cdot \omega = M$ , отримаємо

$$J \cdot s \cdot \omega_0 \cdot (v - s_\phi) = \frac{M_H}{s_H} s_\phi. \quad (3.9)$$

Цей вираз можна представити як

$$\frac{J \cdot \omega_0 \cdot s_H}{M_H} \cdot s \cdot \frac{s_\phi}{s_H} + \frac{s_\phi}{s_H} = \frac{J \cdot \omega_0}{M_H} \cdot s \cdot v. \quad (3.10)$$

**НУБІЙ України**

Прийнявши за вхідну величину відносну дивидкість поля  $v$ , а за вихідну – відносне ковзання  $\sigma = \frac{s_\phi}{s_H}$ , то вираз (3.10) буде мати вигляд

$$T_{M1} \cdot s \cdot \sigma + \sigma = T_{M2} \cdot s \cdot v, \quad (3.11)$$

**НУБІЙ України**

де  $T_{M1} = \frac{J \cdot \omega_0 \cdot s_H}{M_H}$  та  $T_{M2} = \frac{J \cdot \omega_0}{M_H}$ . З цього передатна функція асинхронного електродвигуна при частотному керуванні

$$W(s) = \frac{\sigma(s)}{v(s)} = \frac{T_{M2} \cdot s}{T_{M1} \cdot s + 1}. \quad (3.12)$$

Отже, передатна функція електродвигуна при керуванні частотою

$$W_{BM}(s) = \frac{k_{BM}}{T_{BM} \cdot s + 1} = \frac{1,988}{0,014 \cdot s + 1}.$$

**НУБІЙ України**

### 3.1.4. Вибір частотного перетворювача

**Н** У САК температурою в зерносушарці у якості пристрою для керування електродвигуном приводу відцентрового вентилятору вибраний частотний п е р е т в о р ю ч а. Промисловий перетворювач частоти AC70-T3-011G/015P відноситься до серії продуктів AC70 компанії VEICHI і розроблений для керування моментом обертання, плавного пуску та зупинки синхронних та асинхронних трифазних електродвигунів. Перетворювач частоти AC70-T3-011G/015P використовується у різних галузях промисловості та сільського в а ч с.

господарства, у металургії, харчовій, нафтогазовій, у системах водопостачання та водовідведення, у вентиляційних системах. Ці перетворювачі оснащені будованим модулем реалізації ПЛ-алгоритму керування.



Рис. 3.9. Зовнішній вигляд перетворювача частоти  
AC70-T3-011G/015P

Частотні перетворювачі (інвертори) застосовуються для плавного безступінчатого регулювання швидкості трифазних асинхронних електродвигунів. Регулювання досягається генеруванням трифазного струму змінної частоти на вихід. Привод дозволяє контролювати та переглядати найважливіші параметри на цифровій панелі - задану швидкість, вихідну частоту, струм і напругу двигуна, вихідну потужність і момент, стан дискретних входів, загальний час роботи приводу та ін.

Технології, реалізовані в приводах АС70, роблять їхо серію однією з найпередовіших розробок у своєму класі. Серія АС70 охоплює діапазон потужностей від 11 до 15 кВт.

Характеристики частотного перетворювача АС70 вказані в таблиці

Таблиця 3.6

|  |                                       |
|--|---------------------------------------|
| Бренд  | Veichi                                |
| Серія  | AC70                                  |
| sku  | AC70-T3-011G/015P                     |
| Основна Потужність                             | 11.0 кВт                              |
| У режимі Другої Потужності                     | 15.0 кВт                              |
| Число фаз/напруга на вході                     | 3-ф/380 В                             |
| Число фаз/напруга на виході                    | 3-ф/380 В                             |
| Mmax (1 хв) %                                  | 150                                   |
| Струм номінальний                              | 25 А                                  |
| Номінальний струм з другої потужності          | 32 А                                  |
| Струм протягом 1 хвилини                       | 38.0 А                                |
| Струм максимальний протягом 2 с                | 50.0 А                                |
| Максимальна вихідна частота                    | 400 Гц                                |
| Ступінь захисту IP                             | 20                                    |
| ЕМС фільтр                                     | ні                                    |
| Висота   | 291 мм                                |
| Ширина   | 195 мм                                |
| Глибина  | 167.5 мм                              |
| Гальмівний модуль                              | Є                                     |
| Вбудований ПЛК                                 | Є                                     |
| Вбудований регулятор                           | ПІД                                   |
| Скалярний режим керування                      | є                                     |
| Векторний режим керування без енкодера         | є                                     |
| Векторний режим керування з енкодером          | ні                                    |
| Лінійний закон управління U/f                  | є                                     |
| Квадратичний закон управління U/f <sup>2</sup> | є                                     |
| Знімна панель                                  | Є                                     |
| Програматор                                    | ні                                    |
| Максимальна кількість фіксованих швидостей     | 16                                    |
| Число/тип аналогових входів                    | 3(1:0-20mA;1:0-10V;1:0-10Vабо0-20mA;) |
| Число дискретних входів                        | 7                                     |
| Число/тип аналогових виходів                   | 2(1:0-10V;1:0(4)-20mA)                |
| Число дискретних (транзисторних) виходів       | 2                                     |

|   |   |
|---|---|
| Число релейних виходів                      | 1 |
| Вбудований потенціометр (або номінал опору) | Є |
| Протокол ModBus RTU                         | Є |
| Інтерфейс RS-485/Modbus                     | є |

Особливості частотного конвертера АС70-ТЗ-011G/015Р:

- Діапазон вихідних частот: 0,2-400 Гц;

- 16 програмованих налаштувань швидкості;
- Векторне керування з самоадаптацією до двигуна або контролера

(поєднання векторного керування та функції компенсації ковзання дозволяє

забезпечити не менше 150% початкового моменту двигуна з частоти 1 Гц);

- Функція оптимізації часу розгону гальмування;

- Вбудований ПІД-регулятор (з прямою та зворотного характеристиками) може, напр. в. використовуватися для контролю температури, витрати або тиску;

- є два способи зупинити двигун: кероване гальмування або рух накатом;

- автоматичний перезапуск після відключення електроенергії з можливістю запуску обертового двигуна;

- вбудований інтерфейс RS-485 для зв'язку з ПКО (швидкість обміну даними до 19500 бод).

- Види захисту електродвигуна або груп двигунів;

- Відключення надкрутного моменту;

- Захист від перевантаження, обриву/спотворення фази;

- захист від перегріву;

- Захист від короткого замикання.

Для нового асинхронного трьохфазного двигуна АИР132М4

потужністю 11 кВт, частотний перетворювач АС70-ТЗ-011G/015Р підходить по всіх характеристиках.

# НУБІП України

РОЗДІЛ 4  
РОЗРОБКА ЦИФРОВОЇ СИСТЕМИ КЕРУВАННЯ

**4.1. Вибір алгоритму управління та технічних засобів його реалізації**

Н

## 4.1.1. Визначення періоду квантування

Період квантування знаходимо за теоремою Котельникова за допомогою амплітудно-частотної (частотної) замкнutoї безперервної частини системи з похибкою  $T_b$  (рис. 4.1) за допомогою MathCAD.

$$w := 0, 0.001..1 \quad j := i$$

$$W_p(w) := \frac{0.8}{200 \cdot j \cdot w + 1} \cdot e^{-50j \cdot w}$$

$$w := 1$$

Given

$$|W_2(w)| = 0.01$$

$$(w) := \text{Find}(w)$$

$$w = 0.308$$

$$T_k := \frac{\pi}{w} \quad T_k = 10.189$$

$$w := 0, 0.0001..0.4$$

Az(w) := |W\_2(w)|

$$Az(0.308) = 0.01$$

НУБІП України

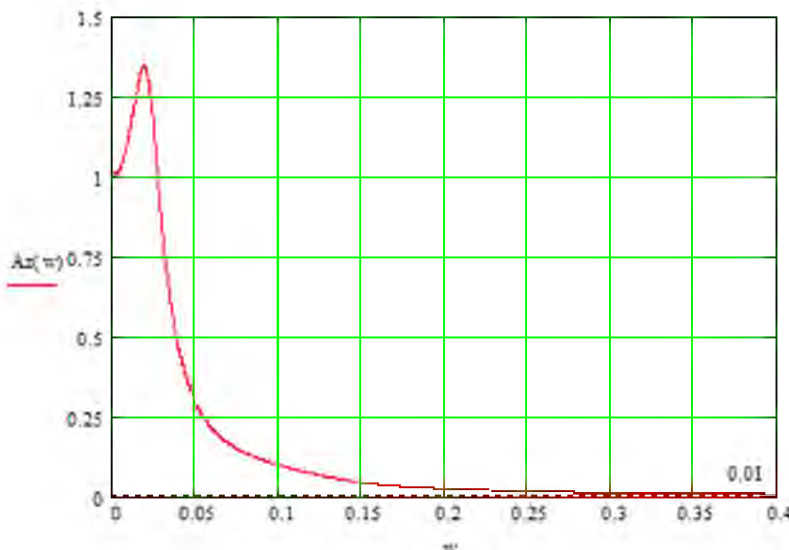


Рис. 4.1. АЧХ замкненої неперервної частини системи.

По отриманому графіку, період квантування  $T_k$  складає 10с.

#### 4.1.2 Розрахунок цифрового регулятора

Для забезпечення аперіодичного монотонного переходного процесу

допільне застосування ПД-алгоритму управління.

Передатна функція цифрового ПД-алгоритму (регулятора) виглядає

$$W_{PER}(z) = K_p + \frac{K_I T(z+1)}{2(z-1)} + \frac{K_D(z-1)}{Tz}. \quad (4.1)$$

Визначаємо значення коефіцієнту ( $K_I$ ). Це рівняння проводиться на основі добробутності системи за швидкістю  $R_v$ . Решта коефіцієнтів  $K_p$ ,  $K_D$  визначаються так, щоб компенсувати полюси (інерційності) неперервної частини системи.

$$K_v = \lim_{z \rightarrow 1} W_{PER}(z) \cdot K_I. \quad (3.40)$$

Використовуючи MATLAB визначаємо передаточну функцію неперервної частини системи в цифровому вигляді (з перетворенням), попередньо розкладавши ланку затиснення в ряд Ладе.

$\gg Wn = tf([-40\ 0.8], [10000\ 250\ 1])$

*Transfer function:*

$$\frac{-40s + 0.8}{10000s^2 + 250s + 1}$$

$\gg Wz = c2d(Wn, 10)$

*Transfer function:*

$$\frac{-0.03165z + 0.03872}{z^2 - 1.77z + 0.7788}$$

*Sampling time:* 10

$\gg$

Отже, передатча функція неперервної частини системи буде мати

$$W_{H^q}(z) = \frac{-0.03165 \cdot z + 0.03872}{z^2 - 1.77 \cdot z + 0.7788}. \quad (4.2)$$

Добротності системи за швидкістю Kv визначають за формулою

$$K_v = \frac{(1+K)^2}{(\alpha_1 - \beta_1) \cdot K}, \quad (4.3)$$

де  $\alpha_1, \beta_1, K$  – коефіцієнти передатної функції неперервної частини,

поданої у вигляді

$$W_{H^q}(s) = \frac{b_m + b_{m-1} \cdot s + \dots + b_1 \cdot s^{m-1} + b_0 \cdot s^m}{a_n + a_{n-1} \cdot s + \dots + a_1 \cdot s^{n-1} + a_0 \cdot s^n} = \frac{1 + \beta_1 \cdot s + \dots + \beta_{m-1} \cdot s^{m-1} + \beta_m \cdot s^m}{1 + \alpha_1 \cdot s + \dots + \alpha_{n-1} \cdot s^{n-1} + \alpha_n \cdot s^n}$$

$$K = \frac{b_m}{a_n}; \quad \beta_1 = \frac{b_{m-1}}{b_m}; \quad \dots; \quad \beta_m = \frac{b_0}{b_m}; \quad \alpha_1 = \frac{a_{n-1}}{a_n}; \quad \dots; \quad \alpha_n = \frac{a_0}{a_n}$$

$$\text{де } K = \frac{b_m}{a_n}; \quad \beta_1 = \frac{b_{m-1}}{b_m}; \quad \dots; \quad \beta_m = \frac{b_0}{b_m}; \quad \alpha_1 = \frac{a_{n-1}}{a_n}; \quad \dots; \quad \alpha_n = \frac{a_0}{a_n}$$

$$W_{H^q}(s) = \frac{0.8 \cdot s^{150}}{1 + 250 \cdot s + 10000 \cdot s^2}$$

$$W_{H^q}(s) = \frac{0.8 \cdot s^{150}}{1 + 250 \cdot s + 10000 \cdot s^2}$$

$$W_{H^q}(s) = \frac{0.8 \cdot s^{150}}{1 + 250 \cdot s + 10000 \cdot s^2}$$

**НУБІП**  $K_v = \frac{(1+0.8)^2}{(250+50) \cdot 0.8} = 0,014$  **України**

Знаходимо  $K_I$  використавши формули та MathCAD.

**НУБІП**  $K := 0.8$   $\alpha_1 := 250$   $\beta_1 := -50$  **України**

$$K_v := \frac{(1+K)^2}{(\alpha_1-\beta_1) \cdot K}$$

$$K_v = 0.014$$

$$Wn4(z) := \frac{-0.01365 \cdot z + 0.03872}{z^2 - 1.77 \cdot z + 0.7788} \quad \lim_{z \rightarrow 1} Wn4(z) \rightarrow 2.8488636363636363$$

**НУБІП**  $K_i = \frac{0.014}{2.85} = 4.912 \times 10^{-3}$  **України**

Отже,  $K_i = 0,005$ .

Визначимо корені знаменника неперервної частини за допомогою

**НУБІП** MathCAD. **України**

$$\begin{aligned} & z^2 - 1.77 \cdot z + 0.7788 = 0 \\ & z^2 - 1.77 \cdot z + 0.7788 \text{ solve, } z \rightarrow \end{aligned}$$

$$\begin{aligned} & 0.8184793265217496463 \\ & 0.95152067347825035363 \end{aligned}$$

**НУБІП** Отже, знаменник можна подати у вигляді  $(z-0.82) \cdot (z-0.95)$ , це поліоси, які треба компенсувати. **України**

Чисельник передатної функції регулятора можна подати в вигляді

$$z^2 + \frac{K_I T^2 - 2K_p - 4K_d}{K_I T^2 + 2K_p T + 2K_d} \cdot z + \frac{2K_d}{K_I T^2 + 2K_p T + 2K_d}. \quad (4.6)$$

**НУБІП** **України**

**НУБІП** **України**

Прирівняємо вирази (4.5) та (4.6) при одинакових степенях  $z$  та розв'яжемо систему рівнянь за допомогою MathCAD:

Отже,  $K_p = 1,232$ ,  $K_d = 44,252$ .

$$K_i := 0.005 \quad T := 10$$

$$K_p := 1 \quad K_d := 1$$

Given

$$\begin{aligned} & \frac{K_i \left[ T^2 - 2 \cdot T \cdot K_p - 4 \cdot K_d \right]}{K_i \left[ T^2 + 2 \cdot T \cdot K_p + 2 \cdot K_d \right]} = -1.77 \\ & \frac{2 \cdot K_d}{K_i \cdot T^2 + 2 \cdot T \cdot K_p + 2 \cdot K_d} = 0.7788 \end{aligned}$$

$$\begin{pmatrix} K_p \\ K_d \end{pmatrix} := \text{Find}(K_p, K_d) \quad K_p = 1.232 \quad K_d = 44.252$$

Таким чином, передатна функція регулятора буде мати вигляд:

$$W_{PER}(z) = 1,232 + 0,025 \frac{(z+1)}{(z-1)} + 4,425 \frac{(z-1)}{z}. \quad (4.7)$$

### 4.1.3 Технічна реалізація цифрового регулятора

В якості керуючого пристрою ми використовуємо

мікроконтролерний пристрій, який дозволяє задавати параметри в широких межах і змінювати їх під час роботи. КНУ є універсальним контролером програмування.

Технічні характеристики ЦП:

- пряма адресація пам'яті до 64 кбайт;

- тип адресації (неявна, пряма), адресована одиниця байт;

- кількість інструкцій, включаючи інструкції для арифметичних і логічних операцій, операцій десяткової корекції (78).

У нашому випадку необхідно використовувати аналого-цифровий

перетворювач (АЦП) з урахуванням меж зміни температури осушувача ( $40\dots+140^\circ\text{C}$ ) і необхідної точності  $\Delta=1^\circ\text{C}$ .

**НУБІЙ України**

Кількість дискретних рівнів АЦП визначається за формулою

$$N = \frac{X_{B\ max} - X_{B\ min}}{\Delta} + 1 = \frac{140 - 40}{1} + 1 = 100.$$

Визначаємо розрядність АЦП за формулою

$$n = [\log_a N]^+, \quad (3.48)$$

бде  $[...]^+$  – найбільше ціле, яке більше або дорівнює аргументу.

$$n = [\log_2 100]^+ = 7.$$

Беремо АЦП К1113ПВ1.

Визначимо коефіцієнт масштабування за допомогою MathCAD,

**НУБІЙ України**

```

Kаср := 1
Васр := 1
given
Kаср · 0 + Васр = 0
Kаср · 100 + Васр = 250
(Kаср / Васр) := Find(Kаср, Васр)
Kаср = 2.5
Васр = 0

```

враховуючи діапазон кодів АЦП (0...250).

Отже, залежність коду АЦП від температури буде мати вигляд

$$X_{AЦП} = 2,5 \cdot \theta, \quad (4.9)$$

де  $\theta$  – це температура об'єкта.

## 4.2. Аналіз роботи САК та визначення показників якості керування

Перевірку нашої цифрової системи на стійкість ми виконуємо за критерієм Джурі.

Для цього необхідно знайти передатну функцію розімкнутої системи

$$\begin{aligned}
 W_{PO3}(z) &= W_{HЧ}(z) \cdot W_{PER}(z) = \frac{-0,03165 \cdot z + 0,03872}{z^2 - 1,77 \cdot z + 0,7788} \cdot 1,232 + 0,025 \frac{(z+1)}{(z-1)} + 4,425 \frac{(z-1)}{z} = \\
 &= \frac{-0,18z^3 + 0,22z^2 - 0,07z + 0,03}{z^4 - 2,77z^3 + 2,54z^2 - 0,77z}.
 \end{aligned}$$

Знайдемо передатну функцію замкненої системи

$$W_{3AM}(z) = \frac{W_{PO_3}(z)}{1+W_{PO_3}(z)} = \frac{-0,18z^3 + 0,22z^2 - 0,07z + 0,03}{z^4 - 2,95z^3 + 2,76z^2 - 0,84z + 0,03}.$$

Розв'яжемо характеристичне рівняння замкненої системи за допомогою MathCAD.

$$z^4 - 2,95 \cdot z^3 + 2,76 \cdot z^2 - 0,84 \cdot z - 0,03 \text{ solve}, z \rightarrow \begin{cases} .15787412568974547892 - .82941756891253480547 \cdot i \\ .15787412568974547892 + .82941756891253480547 \cdot i \\ .75495377091125615427 - .25106297537018535310 \cdot i \\ .75495377091125615427 + .25106297537018535310 \cdot i \end{cases}$$

Відобразимо корені на  $Z$ -площині. Якщо всі корені знаходяться всередині одиничного кола, то за критерієм Джурі система стійка.

Використавши MATLAB складемо структурно-алгоритмічну схему

цифрової системи та побудуємо перехідний процес

- час регулювання Тр=240 с;
- перерегулювання  $\sigma=0\%$ ;
- коливальність  $n=0$ ;
- статична похибка  $\Delta=0$ .

Ці показники задовільняють технологічним вимогам до процесу сушіння зерна.

# НУБІП України

# НУБІП України

## РОЗДІЛ 5

### РОЗРОВКА SCADA-СИСТЕМИ

# НУБІП України

Візуалізація — це спосіб подання інформації у вигляді наочного образу

(наприклад, у вигляді малюнків і фотографій, графіків, схем, структурних схем, таблиць, карт тощо).

При візуалізації контролю використовуються такі підходи:

- SCADA SYSTEM (Trace mode, Genesis);
- управління за допомогою пульта управління;
- контролер з дисплеєм;

Вибір технічних засобів візуалізації залежить від обсягу інформації та розміру ОУ. Системи SCADA використовуються у великих системах.

SCADA — програмний комплекс для візуалізації та керування технологічними процесами. Система SCADA забезпечує візуальне представлення процесу та зазвичай надає оператору графічний інтерфейс для контролю та керування.

Враховуючи кількість технічних ресурсів, візуалізація операторського інтерфейсу виконана за допомогою Scada Trase Mode (AdAstra), одного з

рішень автоматизації технологічних процесів (ASUTP), та автоматизованої системи контролю та управління процесом сушіння зерна. був розроблений.

Розроблена система SCADA дозволяє виконувати основні завдання технологічного процесу сушіння зерна:

- ефективно керувати та контролювати технологічний процес сушіння;
- забезпечити високий рівень надійності та безпеки;
- оптимізація споживання енергетичних ресурсів;
- отримувати дані в реальному часі;
- мати доступ до проекту з будь-якого місця;

Впровадження підсистеми підтримки прийняття рішень.

Результат роботи представлено нижче. Уявімо кілька робочих екранів, між якими можна переміжатися за допомогою відповідних кнопок у нижньому

правому куті. На першому екрані ми будемо стежити за роботою механізмів в цілому по всій сушарці, тому накладемо на зображення сушарки сигнальні лампочки, пов'язані з відповідними параметрами програми. На другому екрані панелі керування ми показуємо параметри керування, важливі для керування.

На рис. 5.1 показаний інтерфейс оператора. На цьому екрані

(мнемосхемі) показано технологічне обладнання: зерносушарка, топкова установка, завантажувальна норя, розвантажувальний конвеєр, вентилатори, газопровід і манометри.

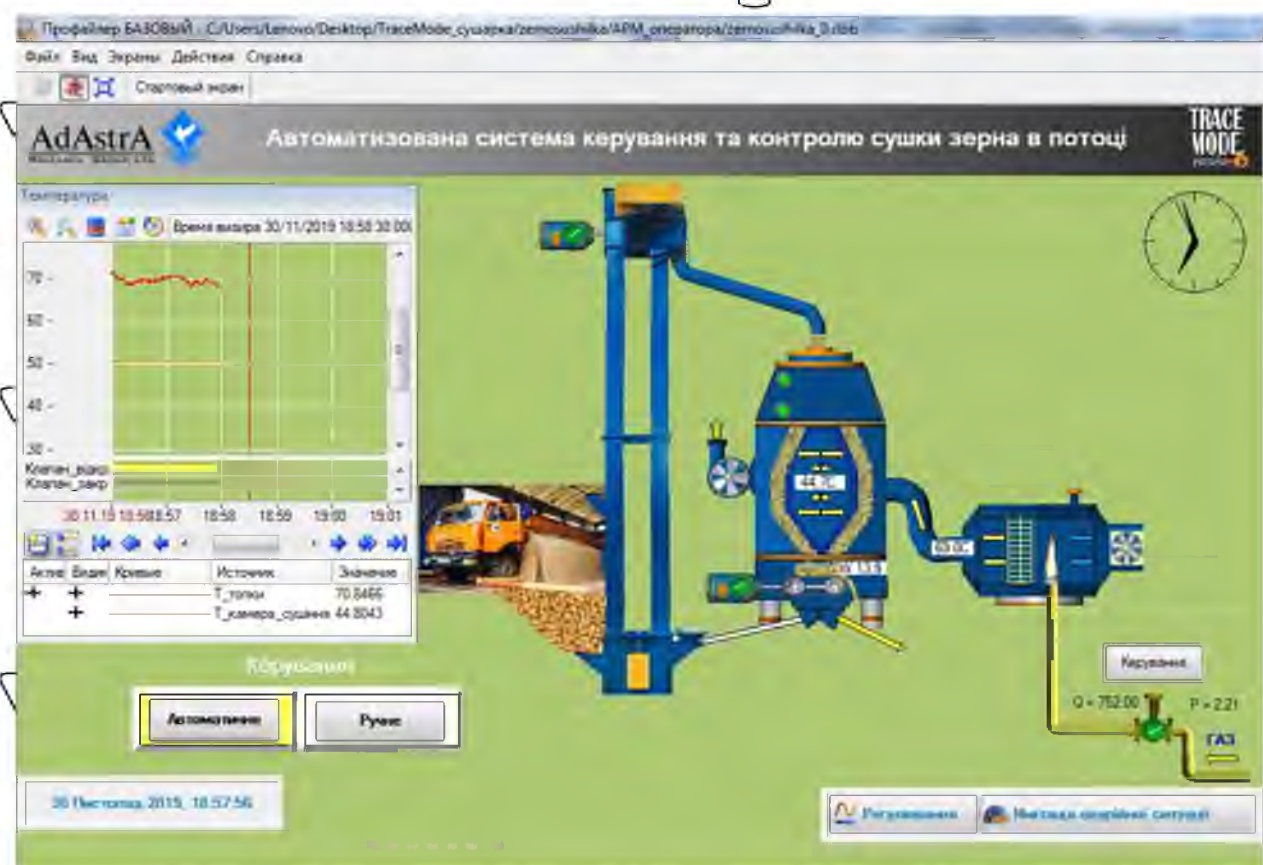


Рис. 5.1. Графічний інтерфейс системи в Scada Trace Mode

Часову динаміку зміни технологічного параметра має сенс представити у вигляді тимчасової залежності зміни цього параметра. З цієї причини в

системах SCADA широко використовуються об'єкти, які дозволяють візуалізувати зміну певного параметра з часом. Такі об'єкти називають трендами. Тренд реального часу показує зміну параметра в реальному часі. Як правило, тенденції включають смугу прокрутки, яка дозволяє «повернутися

назад» і побачити, що сталося раніше у виробництві, або повернутися до «поточного часу». Тенденція відображення температури теплоносія печі та сушильної камери, показано на рис. 5.2.

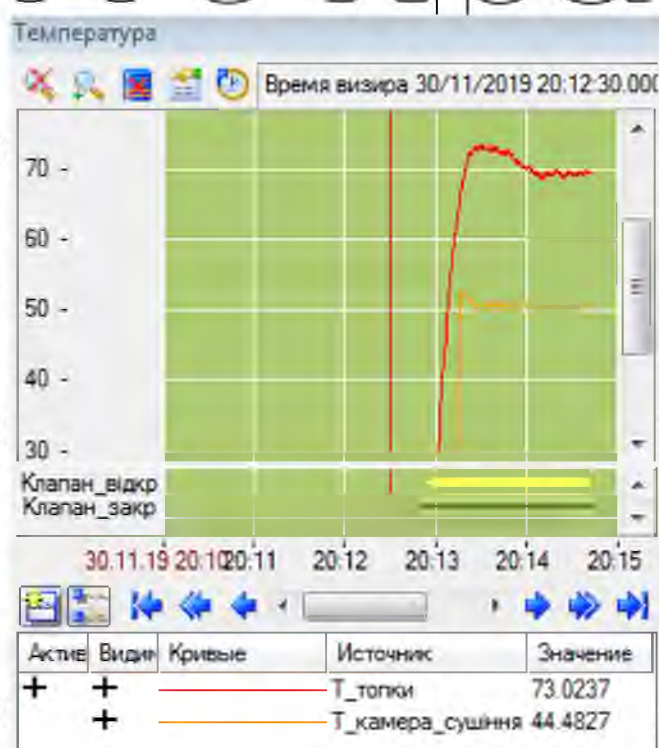


Рис 5.2. Відображення показників температури у вигляді тренда

На рис. 5.3 зображено перемикачі режиму роботи, а також вікно

автоматичного режиму, яке містить відповідні кнопки включення та вимикання, які передають сигнал на елементи (контакти та котушки) програми керування.

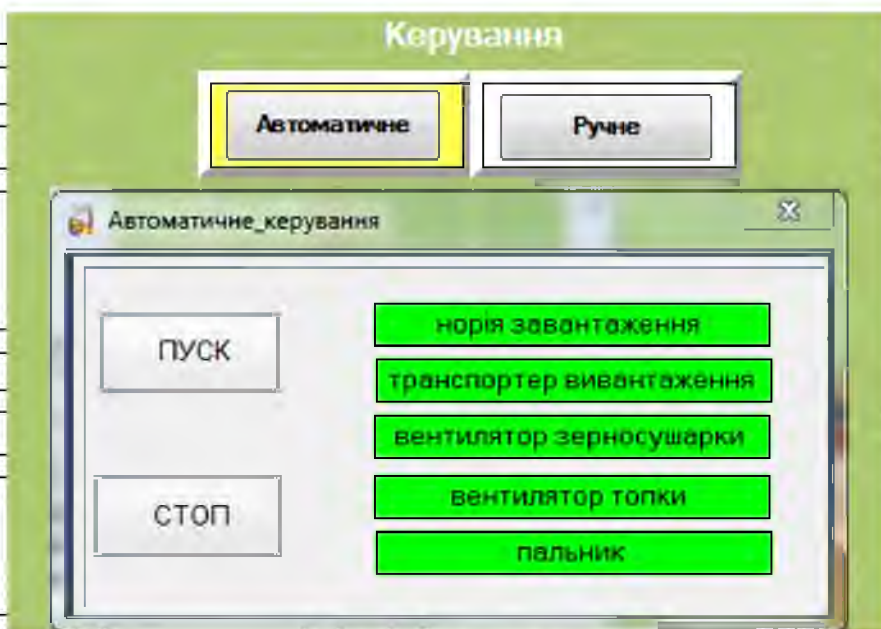


Рис. 5.3. Перемикання режимів роботи (автоматичний/ручний).

На рис. 5.4 показано вікно режиму ручного керування, в якому управління механізмами виконання сушарки здійснюється за допомогою кнопкових перемикачів.

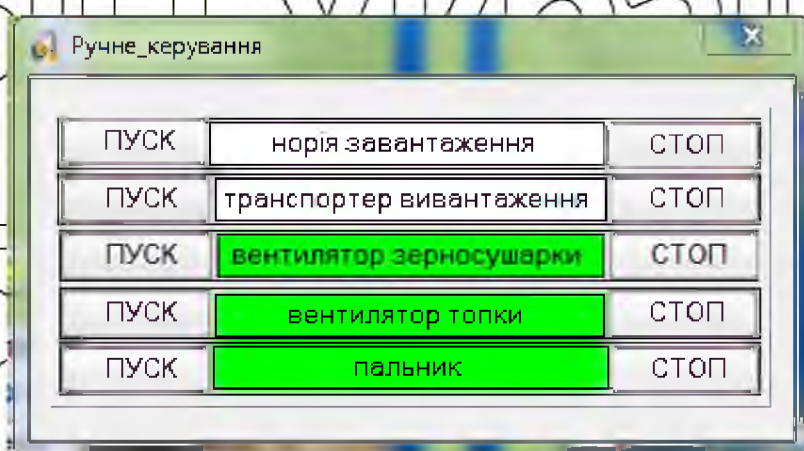


Рис. 5.4. Вікно режиму ручного керування механізмами сушарки

На рис. 5.5 показано керування виконавчим механізмом клапана в ручному режимі. Відображення інформації (значень тиску, витрати), а також стану у вигляді кольорової індикації дозволяють стежити за подачею палива.



Рис. 5.5. Вікно керування виконавчим механізмом клапана у ручному режимі

Під час технологічного процесу необхідно контролювати той чи інший параметр, щоб виключити аварії та поломки обладнання. Система SCADA дозволяє контролювати значення параметрів виробничого процесу.

Однак просто перевірити параметри недостатньо, у багатьох випадках необхідно повідомити оператора про аварійну ситуацію, наближеність значення параметра до аварійного значення. На рис. 5.6 показано вікно, що імітує аварійну ситуацію на прикладі зміни тиску палива, світловий індикатор, коли тиск падає нижче норми.

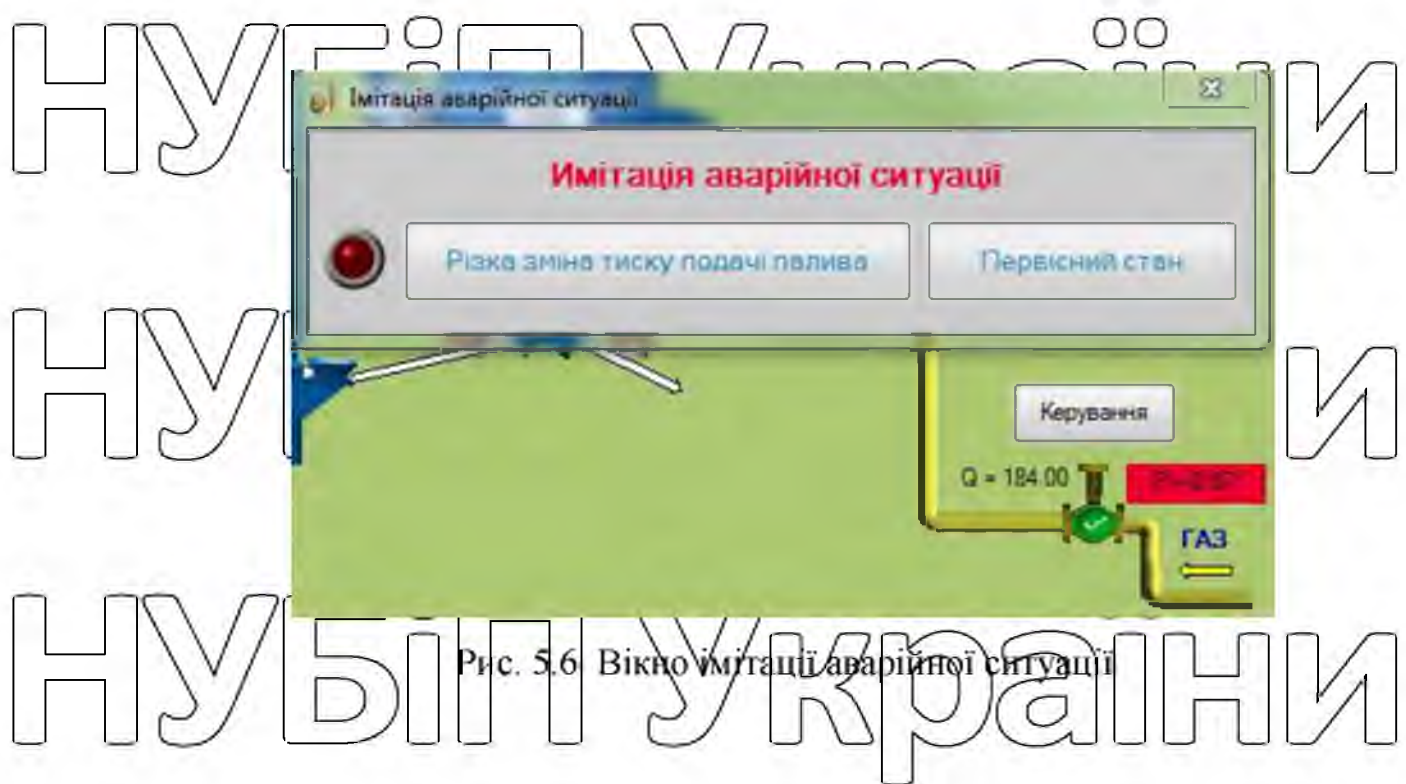


Рис. 5.6. Вікно імітації аварійної ситуації

Останній екран нашого огляду системи Scada показаний на рис. 5.7. Це екран налаштування. Він містить такі технологічні параметри, як: температура теплоносія, тиск подачі палива, швидкість розвантажувального конвеєра, яка має 10 рівнів налаштування, а також параметри налаштування ПІД-регулятора, який виробляє відповідну уставку.

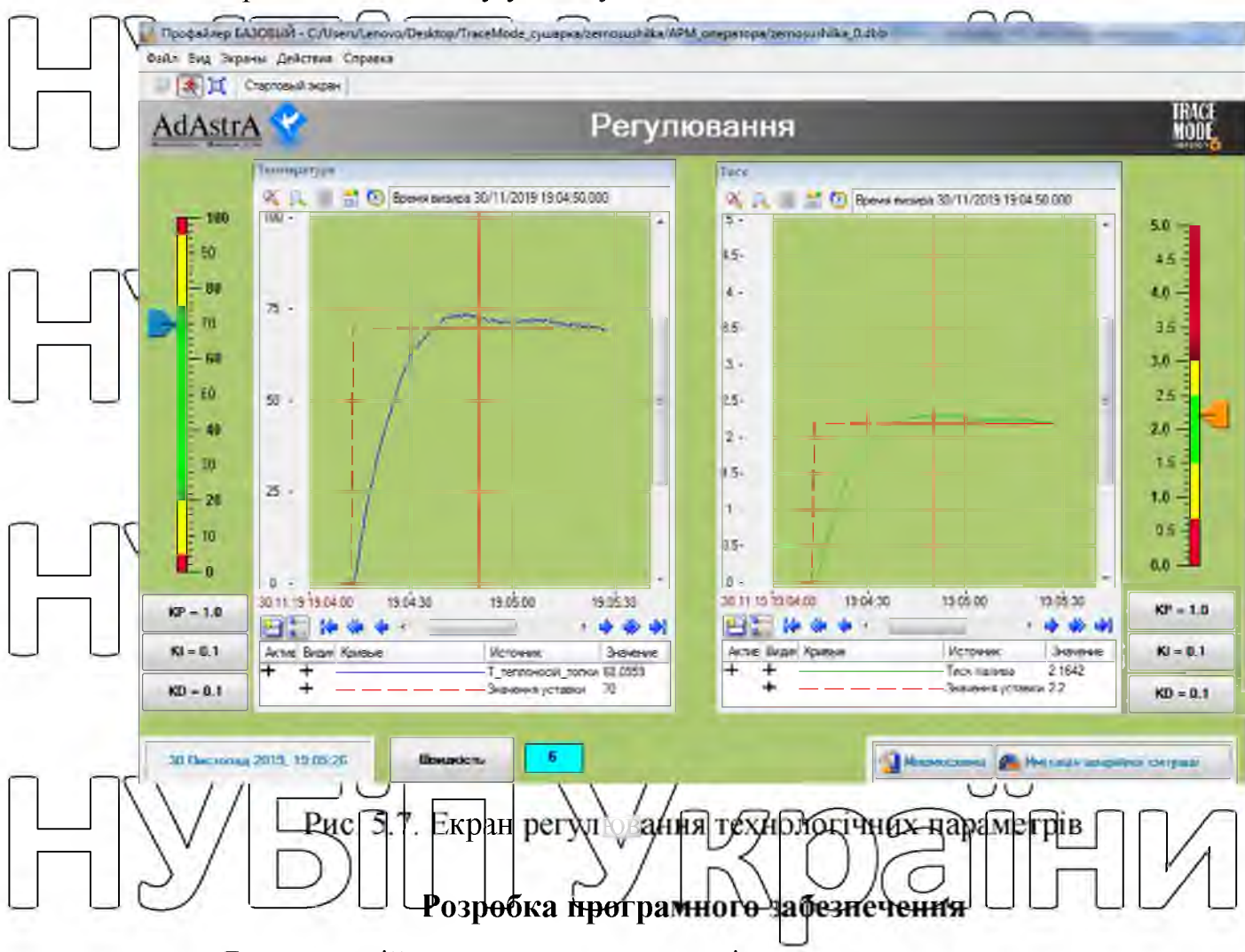


Рис. 5.7. Екран регулювання технологічних параметрів

Як пристрій керування технологічним процесом використовується програмований логічний контролер, для якого розробляється керуюча програма.

Для створення символічного запису робочого алгоритму використовуємо такі позначення:

X1 – електромагнітний пускателю двигуна вентилятора сушарки;

X2 – електромагнітний пускателю двигуна вентилятора рекуперації;

X4 – Електромагнітний пускателю двигуна Норі для завантаження зерна;

X5 - електромагнітний пускач двигуна вихлопних систем;

X6 - електромагнітний пускач двигуна вентилятора горіння;

X7 - електромагнітний пускач двигуна насоса камери згоряння;

X9, X10 - привід заслінки (вліво і вправо);

X11, X12 - приводи клапанів (вліво і вправо);

X13<sup>1</sup> - режим "малий вогонь";

X13<sup>2</sup> - режим "Велика пожежа";

X14 - перетворювач частоти;

b1 – кінцевий вимикач, що фіксує положення розвантажувального люка;

b2 – кінцевий вимикач, що встановлює положення застінки досушування;

b3 – кінцевий вимикач, який вдруге встановлює положення клапана

використання теплоносія;

b4 – кінцевий вимикач, який визначає положення крана зливу теплоносія;

b5 – нижній датчик рівня зерна;

b6 – верхній датчик рівня зерна;

b7 – датчик температури теплоносія в сушильній камері;

b8 – датчик температури в сушильній камері (сигнал на ПД-регулятор і

на вікно панелі керування);

b9 – датчик вологості охолоджуючої рідини;

b10 – датчик вологості зерна на виході;

z1 i z1' – котушка і контакт програмного реле часу прогріву сушарки;

z2 i z'2 - котушка і контакт програмного реле часу очікування

вивантаження зерна і зупинки сушарки.

Визначаємо елементи системи, які будуть підключенні до входів контролера та елементи, які будуть підключенні до виходів контролера.

Для наочності зведемо їх у таблицю назв (рис. 5.8).

| Name  | Tag table         | Data type | Address | Retain | Visibl.                             | Acces                               | Comment                      |
|-------|-------------------|-----------|---------|--------|-------------------------------------|-------------------------------------|------------------------------|
| y1    | Default tag table | Bool      | %Q0.0   |        | <input checked="" type="checkbox"/> | <input checked="" type="checkbox"/> | Сигнал разрешения            |
| b1    | Default tag table | Bool      | %Q0.1   |        | <input checked="" type="checkbox"/> | <input checked="" type="checkbox"/> | заслонка на выгрузку         |
| b2    | Default tag table | Bool      | %Q0.2   |        | <input checked="" type="checkbox"/> | <input checked="" type="checkbox"/> | заслонка на повторную сушку  |
| b3    | Default tag table | Bool      | %Q0.3   |        | <input checked="" type="checkbox"/> | <input checked="" type="checkbox"/> | клапан засып                 |
| b4    | Default tag table | Bool      | %Q0.4   |        | <input checked="" type="checkbox"/> | <input checked="" type="checkbox"/> | клапан открыт                |
| b5    | Default tag table | Bool      | %Q0.5   |        | <input checked="" type="checkbox"/> | <input checked="" type="checkbox"/> | нижний уровень               |
| x1    | Default tag table | Bool      | %Q0.6   |        | <input checked="" type="checkbox"/> | <input checked="" type="checkbox"/> | верхний уровень              |
| x2    | Default tag table | Bool      | %Q0.0   |        | <input checked="" type="checkbox"/> | <input checked="" type="checkbox"/> | вентилятор сушилки           |
| x3    | Default tag table | Bool      | %Q0.1   |        | <input checked="" type="checkbox"/> | <input checked="" type="checkbox"/> | вентилятор рекуперации       |
| x4    | Default tag table | Bool      | %Q0.2   |        | <input checked="" type="checkbox"/> | <input checked="" type="checkbox"/> | мотор загрузки               |
| x5    | Default tag table | Bool      | %Q0.3   |        | <input checked="" type="checkbox"/> | <input checked="" type="checkbox"/> | мотор загрузки               |
| x6    | Default tag table | Bool      | %Q0.4   |        | <input checked="" type="checkbox"/> | <input checked="" type="checkbox"/> | выпускные устройства         |
| x7    | Default tag table | Bool      | %Q0.5   |        | <input checked="" type="checkbox"/> | <input checked="" type="checkbox"/> | вентилятор топки             |
| x8    | Default tag table | Bool      | %Q0.6   |        | <input checked="" type="checkbox"/> | <input checked="" type="checkbox"/> | насос топлива                |
| x9    | Default tag table | Bool      | %Q1.0   |        | <input checked="" type="checkbox"/> | <input checked="" type="checkbox"/> | заслонка на выгрузку         |
| x10   | Default tag table | Bool      | %Q1.1   |        | <input checked="" type="checkbox"/> | <input checked="" type="checkbox"/> | заслонка на повторную сушку  |
| x11   | Default tag table | Bool      | %Q8.0   |        | <input checked="" type="checkbox"/> | <input checked="" type="checkbox"/> | клапан на рекуперацию        |
| x12   | Default tag table | Bool      | %Q8.1   |        | <input checked="" type="checkbox"/> | <input checked="" type="checkbox"/> | клапан на выброс             |
| x13.1 | Default tag table | Bool      | %Q8.2   |        | <input checked="" type="checkbox"/> | <input checked="" type="checkbox"/> | малый огонь газ              |
| x13.2 | Default tag table | Bool      | %Q8.3   |        | <input checked="" type="checkbox"/> | <input checked="" type="checkbox"/> | большой огонь газ            |
| b7    | Default tag table | Int       | %QW14   |        | <input checked="" type="checkbox"/> | <input checked="" type="checkbox"/> | теплоноситель в камере сушки |
| b8    | Default tag table | Int       | %QW18   |        | <input checked="" type="checkbox"/> | <input checked="" type="checkbox"/> | температура в камере сушки   |
| b9    | Default tag table | Int       | %QW130  |        | <input checked="" type="checkbox"/> | <input checked="" type="checkbox"/> | влажность теплоносителя      |
| b10   | Default tag table | Int       | %QW32   |        | <input checked="" type="checkbox"/> | <input checked="" type="checkbox"/> | влажность на выходе          |
| x14   | Default tag table | Int       | %QW128  |        | <input checked="" type="checkbox"/> | <input checked="" type="checkbox"/> | ПЧ                           |

Скріншот 5.8. Таблиця входів і виходів контролера

Основою для створення програми є керуюча структура (рис. 1.2), яка

функціями. Вибране керування програмується на мові логіки контактів реле (сходових діаграм LD). Програма на мові релейної логіки має наочний та інтуїтивно зрозумілий графічний інтерфейс, представлєє логічні операції у вигляді схеми із замкнутими та розімкненими контактами.

Основними елементами мови логіки контактів реле є контакти, які образно можна порівняти з парою контактів реле або кнопки.

Існують нормально закриті та нормально розімкнені контактні елементи, які можна порівняти з нормально закритими та нормально розімкненими кнопками в електричних колах.

Ось приклад тегів, необхідних для компіляції керуючої програми:

— нормально відкритий контакт (позначає вхід);

— нормально закритий;

— кінець логічного ланцюжка називається котушкою (позначає

**НУБІП України**

вихід);

М — маркер (пам'ять на проміжні результати);

Д — реєстр даних (зберігає інформацію про дані);

К — десяткова константа (визначає значення десяткового числа);

Т - Таймер (пам'ять для реалізації параметрів часу);

**НУБІП України**

Однак, залежно від структури управління, також необхідно організовувати дві затримки часу за допомогою блоків часу ТОН, сигнал яких надходить на прапор, задіяний у вихідних схемах керування.

Для керування перетворювачем частоти необхідне ПД-регулювання.

**НУБІП України**

**НУБІП України**

**НУБІП України**

**НУБІП України**

**НУБІП України**

## РОЗДІЛ 6

# НУБІП України

ТЕХНІКА БЕЗПЕКИ ТА ОХОРОНА ПРАЦІ

Монтаж і експлуатація електрообладнання повинна здійснюватися відповідно до норм і правил з охорони праці та відповідної експлуатаційної документації.

Безпека електричних систем повинна бути гарантована:

- Надійність ізоляції;

Безпечне розміщення струмопровідних частин;

- Заземлення або занулення корпусів електрообладнання.
- Попереджувальні, блокувальні та запобіжні знаки;

Усі щойно підключені, відремонтовані електроустановки повинні пройти приймальні випробування та прийняті комісією відповідно до

застосовних норм.

Введення в експлуатацію електричних систем можливе лише за наявності відповідного електричного персоналу та призначеної особи, відповідальної за управління електрикою.

Співробітники, які обслуговують електричні системи, повинні бути обізнані з вимогами державних постанов у межах своєї сфери відповідальності.

На кожну електроустановку на підприємстві, крім технічної документації з експлуатації, проектної документації, акта введення

електроустановки в експлуатацію, паспорта на обладнання, апаратуру та пристрій, план виконання електричних з'єднань, блокувань, сигналізації, розміщення, протоколи електричні випробування, вимірювання потребують затвердження, налагодження окремих пристрійв тощо.

Струмопровідні частини електричних систем повинні бути захищені від

випадкового дотику.

Усі електродвигуни повинні бути заземлені та належним чином захищені від короткого замикання та перевантаження.

Металеві частини електроустановок 380/220 В з плаваючою нейтраллю, які можуть оцинитися під напругою через порушення ізоляції, повинні бути заземлені відповідно до правил улаштування електроустановок.

Забороняється встановлювати заземлювачі в місцях проходу людей і тварин, на вході на майданчик і на вигульних майданчиках.

Зовнішній лінії слід прокладати в сталевих або пластикових трубах, коробах і коробах у місцях, де вони можуть бути склонні до механічичих пошкоджень.

Електропроводка та електрообладнання в приміщеннях з підвищеним вмістом пилу (комоховища, сеносушильники, сховища сін'яного борошна та ін.) повинні бути вибухозахищеними.

Електропроводки, що з'єднують машини з іншим електрообладнанням у місцях, де є небезпечні механічні пошкодження, слід прокладати в сталевих або пластмасових трубах, металевих гильзах, коробах, повітропроводах тощо.

Встановлення вимикачів і запобіжників у лініях захисного заземлення не допускається.  
Заземлена      нейтраль      внутрішньої      електропроводки      повинна      бути  
позначена або пофарбована.

Надійність заземлення та його загальний стан необхідно перевіряти вимрюванням один раз на рік, а також після кожного капітального ремонту та тривалої зупинки установки.

При виявленні відхилення опору заземлення від значень, зазначених у правилах улаштування електроустановок, слід вжити заходів для приведення його до нормативного рівня.

Зовнішню перевірку стану заземлювачів (шин) проводити кожні 6 місяців, у вологих і особливо мокрих приміщеннях - кожні 3 місяці.

У разі несправності або несправності заземлювального пристрою система негайно відключається до усунення несправності.

Роз'єми повинні бути захищені від випадкового дотику до струмоведучих частин і розташовані таким чином, щоб з'єднання було можливе без проблем.

Розетки для підключення випромінювальних пристрій до джерела живлення повинні мати третій захисний контакт.

У приміщеннях підвищеної небезпеки (водогість понад 90%, запиленість понад 800 мг/м<sup>3</sup>) необхідно передбачати герметичні розетки зі спеціальними розетками для підключення до захисного нульового провідника.

Штекерні з'єднувачі (розетки, вилки), які використовуються в мережі напругою 12-42 В, повинні відрізнятися за конструкцією від звичайних вставних з'єднувачів, щоб дозволити установку вилок 12-42 В в 127-220 розеток без перешкоджання.

Огляд, технічне обслуговування і ремонт приймачів і електроспоживачів дозволяється проводити тільки після відключення від електромережі. Плакат

«Не вмикайте! Люди працюють!»  
Роботи на машинах і апаратах з електроприводом можна доручати особам з групою з електробезпеки не нижче І.

Виробничі, допоміжні та складські будівлі та приміщення повинні бути

обладнані близькавхистом згідно з інструкцією з монтажу.  
Щоб зменшити вірогідність потрапляння кульової близькавки в приміщення, перед початком грози слід заблокувати утворення в приміщеннях протягів (закрити двері, вікна, люки та інші щілини і отвори).

Вимоги безпеки в надзвичайних ситуаціях

При аварійній ситуації (виникнення стронних шумів під час роботи пристрію, запаху гару, диму, виявлення несправностей, іскріння електроприладів, поява електричної напруги на деталях, підвищений нагрів поверхні підшипників, редукторів, інших частин машин, порушення цілісності

захисних пристрій, бункерів, сместей, засмічення вихідних отворів горловин і т. д.) необхідно спочатку припинити роботу машин і апаратів у порядку,

передбаченому правилами експлуатації, в першу чергу поворотом. відключення постачання електроенергії, пари, води, палива та хімічних розчинів.

Якщо існує ризик для вашого здоров'я або життя, ви повинні залишити небезпечну зону та попередити працівників, які знаходяться поблизу.

Проводити аварійний ремонт і усувати несправності без зупинки машин і обладнання забороняється. Після аварійної зупинки та при повторному запуску машину необхідно звільнити від продукту обробки.

При пожежі або пожежі необхідно терміново сповістити (телефоном, кур'єром) керівника об'єкта, пожежну охорону, пожежну охорону, оповіщення звуковим сигналом (сирена, радіостанція, дзвінок), приступити до гасіння пожежі наявними засобами (вогнегасник, кран вогнегасника, пісок тощо).

При гасінні пожежі горюча речовина ізоляється від кисню і повітря, охолоджується до температури, що виключає горіння, при цьому не допускається виникнення інших небезпечних факторів (вибухів, обвалів, коротких замикань ліній електропередачі тощо). Велика кількість горючого матеріалу розширюється і гасить кожну частину окремо.

Легкозаймисті рідини (паливо) гасять вогнегасником, направляючи струмінь під основу полум'я або засипаючи горючу поверхню піском, землею

або мокрим брезентом.

Вибухові речовини (кормовий і борошняний пил, вибухову концентрацію аміаку) рясно поливають струменем води з лідранта.

Більшість твердих горючих речовин (сіно, солому та ін.) гасять водою, засипають хутром, засипають піском або землею.

Якщо лінії електропередач загоріться, негайно відключіть лінію від електромережі, вимкнувши автоматичний вимикач. Якщо такої можливості немає, доведеться сокирою або лопатою з сухим дерев'яним держаком перерізати дроти один за одним перед місцем загоряння. При цьому необхідно

встати на суху дерев'яну підставку або гумовий килимок і надіти гумові рукавички або ізолювати руки вовняною тканиною (нарфом, шапкою тощо). Проводи електроприладів можна затирати тільки сухим піском.

Якщо мобільний транспортний засіб загорівся, якщо можливо, відбукируйте його в безпечне місце для інших предметів, вимкніть пожежну сигналізацію та приступайте до гасіння.

При відключені обладнання для роздавання кормів в аварійних ситуаціях слід дотримуватися запобіжних заходів щодо запобігання нещасним

випадкам: не торкатися до проводів, металевих частин технологічного обладнання, якщо є підозра на появу на них електричної напруги, або пошкоджених проводів, не наблизатися до небезпечних механізмів, технічних

Для захисту матеріалів або інших предметів використовуйте засоби захисту (рукавички, гумове взуття, вогнегасник тощо).

У разі нещасного випадку спочатку усувають небезпечний фактор (подача пари, хімічного розчину, електрики, зупинка рухомих механізмів тощо), потерпілому надають першу (долікарську) медичну допомогу і

направляють до лікарні, медичний заклад для догляду. По можливості залишаються до розслідування обстановка і стан обладнання на робочому місці на момент події (за умови, що це не створює загрози життю і здоров'ю оточуючих і не порушує безперебійність технологічного процесу).

# НУБІП України

# НУБІП України

# НУБІП України

## СПИСОК ВИКОРИСТАНОЇ ЛІТЕРАТУРИ

# НУБІП України

- 1 Гірник М. А Механізація і автоматизація післязбиральної обробки зерна. - К.: Урожай, 1970. - 190с.
- 2 2. Боуманск. Г. Эффективная обработка и хранение зерна/Пер. с анг. В.И. Даневского. - М.:Агропромиздат, 1991.- 608с.
- 3 3. Бородин И.Ф., Недилько Н.М. Автоматизация технологических процессов. - М.: Агропромиздат, 1996.
- 4 4. Гинзбург А.С. Технология сушки пищевых продуктов. - М.: Пищевая промышленность, 1973. - 527с.
- 5 5. Гинзбург А.С. Основы теории и техники сушки пищевых продуктов. - М.: Пищевая промышленность, 1976. - 248с.
- 6 6. Айсикин В.И. Консервация влажного зерна. - М.: Колос, 1968. - 286с.
- 7 7. Голубкович А.В. Сушка высоковлажных семян и зерна / А.В. Голубкович, А.Г. Чижиков. – М.:Росагропромиздат, 1991. – 174 с.
- 8 8. Гуляев Г.А. Автоматизация процессов послеуборочной обработки и хранения зерна. - М.: Агропромиздат, 1990. - 240с.
- 9 9. Згоруйко В.А., Кривошеев Ю.И., Слынько О.Г. Определение влагосодержания гигроскопических грузов для их сохранной перевозки. - М.: Транспорт,1988. - 496с.
- 10 10. Драганов Б.Х. Использование возобновляемых и вторичных энергоресурсов в сельском хозяйстве. - Киев: Вища школа, 1988. – 56с.
- 11 11. Корчемний М., Федорейко В., Щербань В. Енергозбереження в агропромисловому комплексі. - Тернопіль: Підручники & посібники, 2001.
- 12 12. Кирпа Н. Я. Развитие оборудования и технологий для первичной обработки, сушки и хранения зерна в хозяйствах АПК // Хранение и переработка зерна. - 2000. - №10 - С.25-26.
- 13 13. Кирпа Н.Я. Развитие и перспективы обработки и хранения зерна в Украине // Хранение и переработка зерна. - 2000. - №12. - С.25-26.
- 14 14. Красников В.В. Кондуктивная сушка. -М.: Энергия, 1973. - 288с.
- 15 15. Малин Н.И. Снижение затрат на сушку зерна. - М.: ЦНИИТЭИ хлебопродуктов, 1991. - 45 с.
- 16 16. Лыков А.В. Теория сушки. - М.: Энергия, 1968. - 471с.
- 17 17. Краусп Р.В. Автоматизация послеуборочной обработки зерна. - М.: Машиностроение, 1975 - 227с.
- 18 18. Мартыненко И.И, Головинский Б.Д, Проценко Р.Д, Резниченко Т.Ф. Автоматика и автоматизация производственных процессов. М.: 1985. -336с.
- 19 19. Мартыненко И.И. Лысенко В.Ф. Проектирование систем автоматики. 2-е изд. перераб. и доп. - М.: Агропромиздат, 1990 г. - 243 с.

- 20 Мельник Б.Е. Активное вентилирование зерна. Справочник. - М.: Агропромиздат, 1986. - 159 с.
- 21 Морозов В.В. Энергозберегающая сушка семян риса в установках бункерного типа / В.В. Морозов, Н.М. Максимов // Механизация и электрификация сельского хозяйства. - 2011. - №5. - С.13-14.

- 21 Остапчук Н.В., Шашкин А.Б., Каминский В.Д. Повышение эффективности сушки зерна. - К.: Урожай, 1988. - 132 с.

- 22 Попов Н.Я. Повышение эффективности работы зерносушилок с повторным использованием агента сушки. - М.: ГНПУ по хлебопродуктам, 1980. - 34 с.

- 23 Станкевич Г.М., Страхова Т.В., Атаназевич В.И. Сушка зерна. - К.: Либидь, 1997. - 351с.

- 24 Теленгатор М.А. Обработка и хранение семян. – М.: Колос, 1980. – 272 с.

- 25 Каталог електролівінів серії АІР [Електронний ресурс]

- Режим доступу: <https://air.com.ua/katalog-elektrolyvitelei-air/>

- 26 Датчик рівня сипких продуктів [Електронний ресурс]

- Режим доступу:

- <https://temix.com.ua/product/vibracionnyj-datchik-signalizator-predelnogo-urovnja-sypuchih-materialov-dpu-10>

- 27 Шахтні зерносушарки Law

- Режим доступу:

- <http://www.zernosushilki.com>

- 28 Зерносушарки поточні (поточні)

- Режим доступу:

- <https://ravaro.com.ua/products-ua/zernosusharki-potochni>

- 29 Сушіння зерна та вибір сушарок в господарствах Скандинавії

- Режим доступу:

- <https://hipzmag.com/tehnologii/branenie/sushka-zerna-i-vybor-sushilok-v-hozraistvakh-skandinavii/>

# НУБІП України

# НУБІП України